

002207 86486960

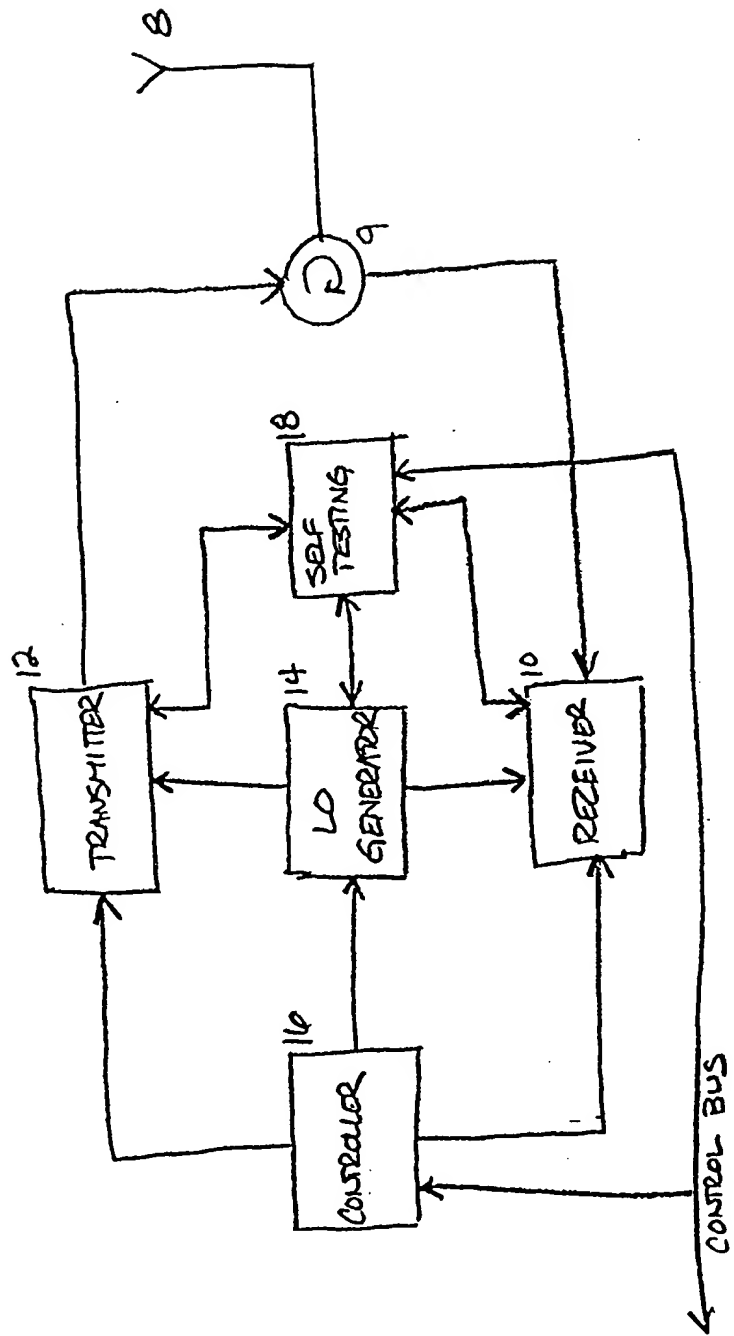


FIG. 1



004207" 86486960

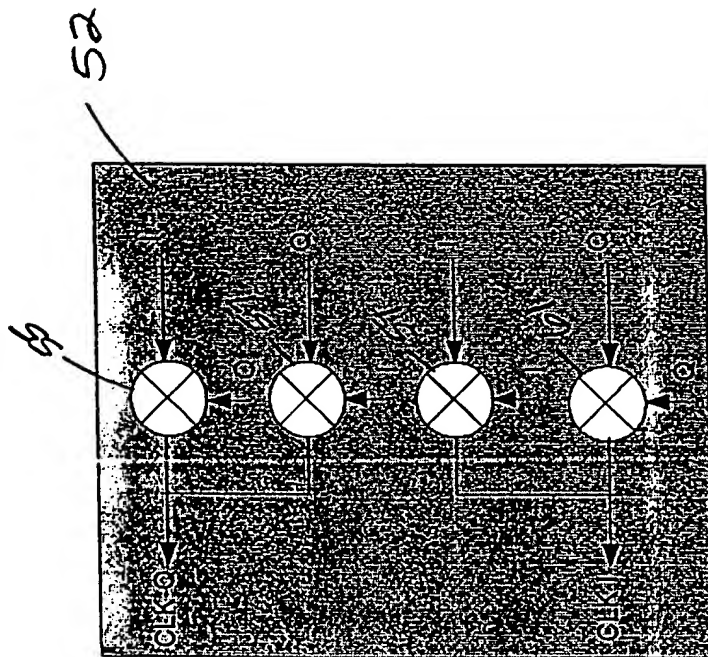


FIG. 3

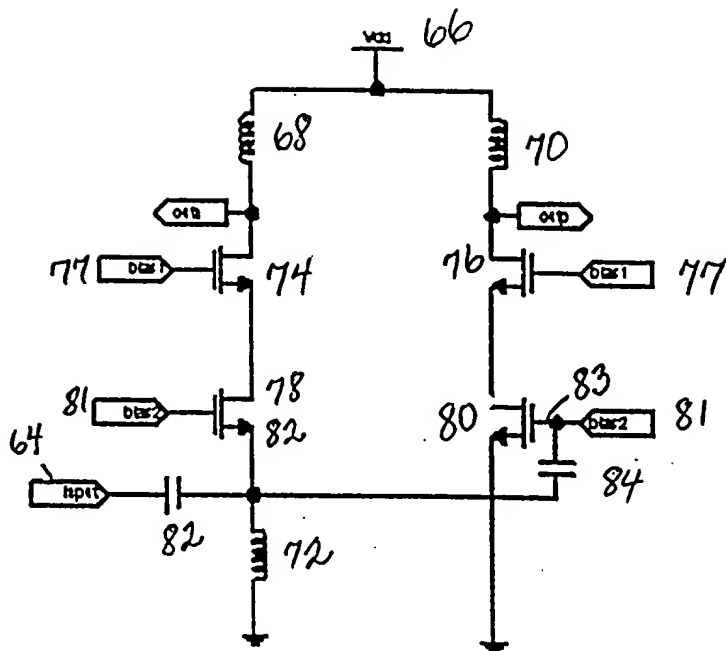


FIG. 4

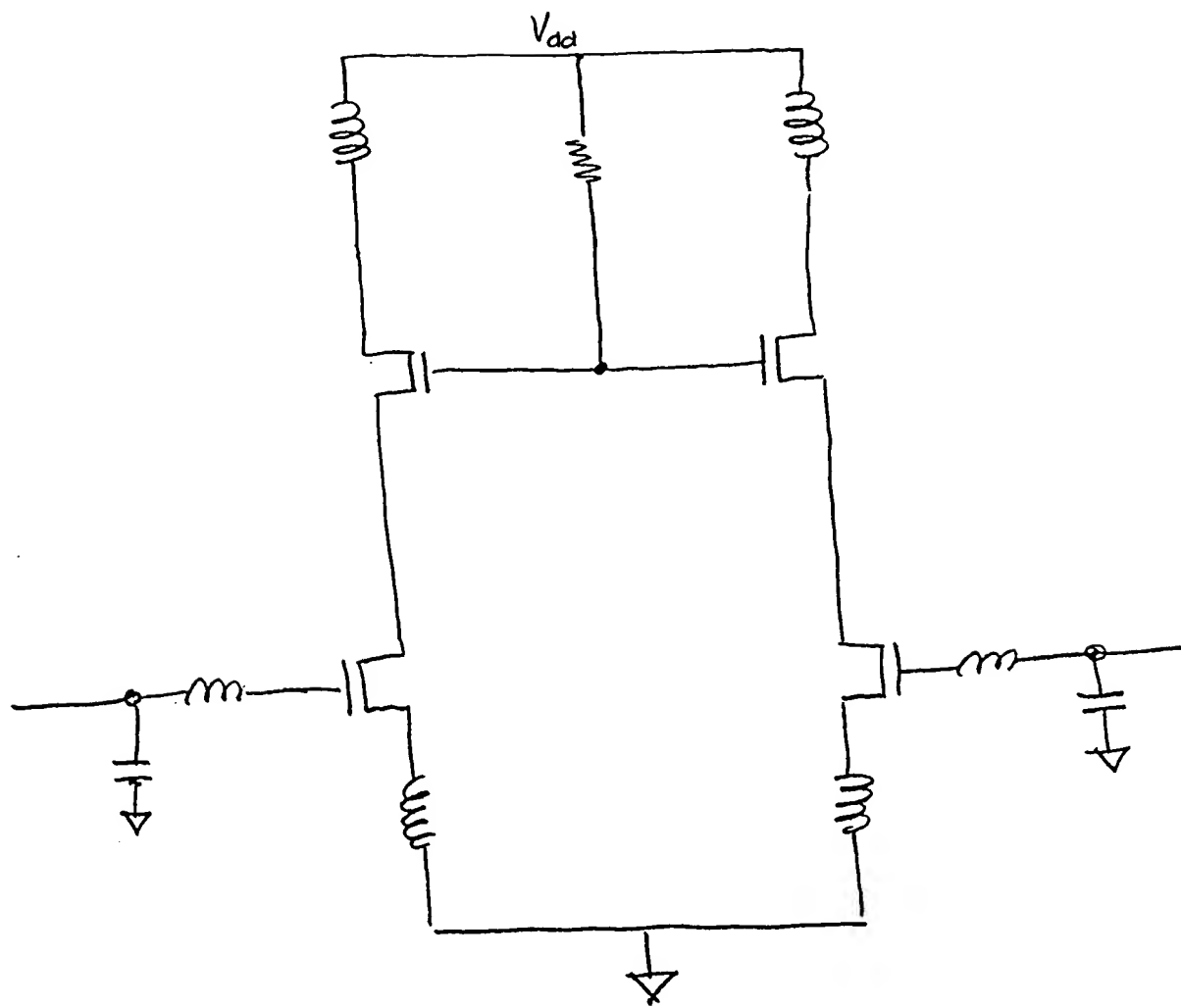


FIG. 4(a)

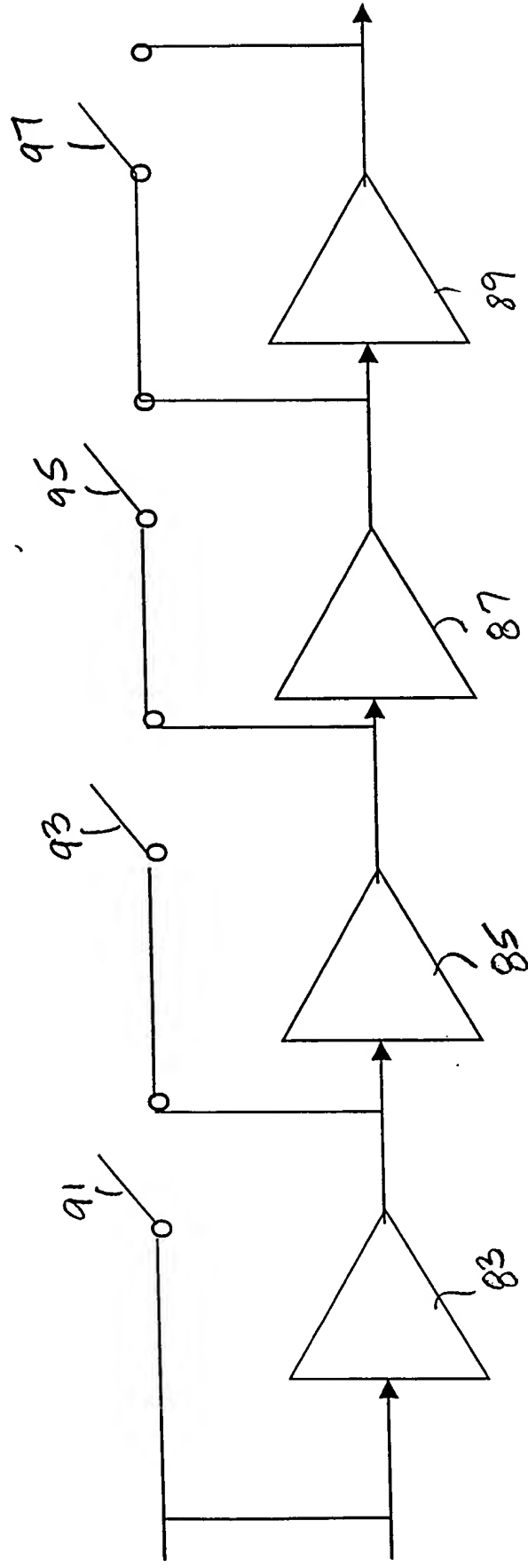


FIG. 5

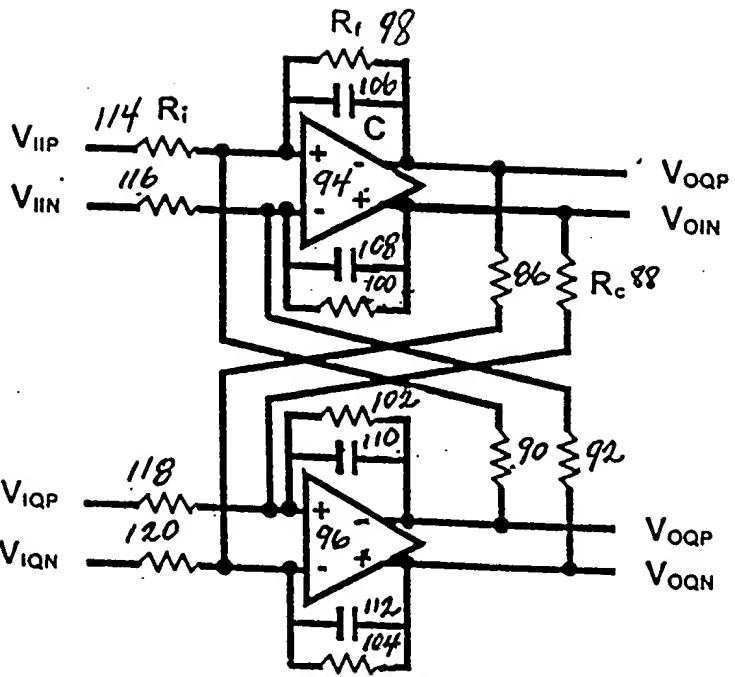


FIG. 6

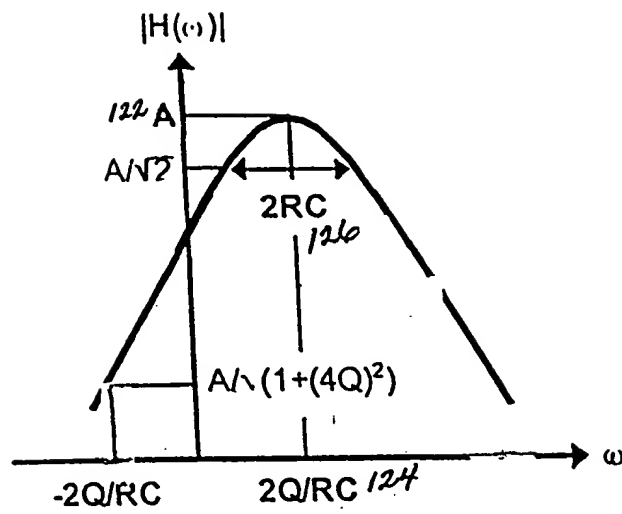


FIG. 7



004207" 86486960

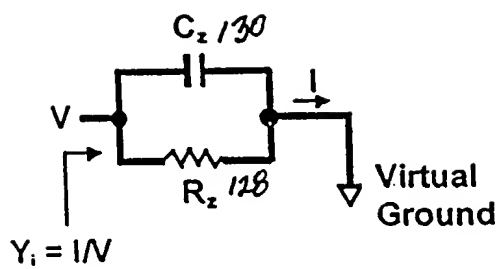


FIG. 8

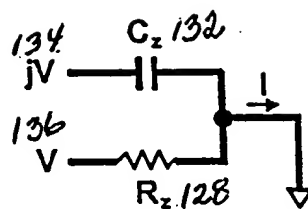


FIG. 9

002207" 35486960

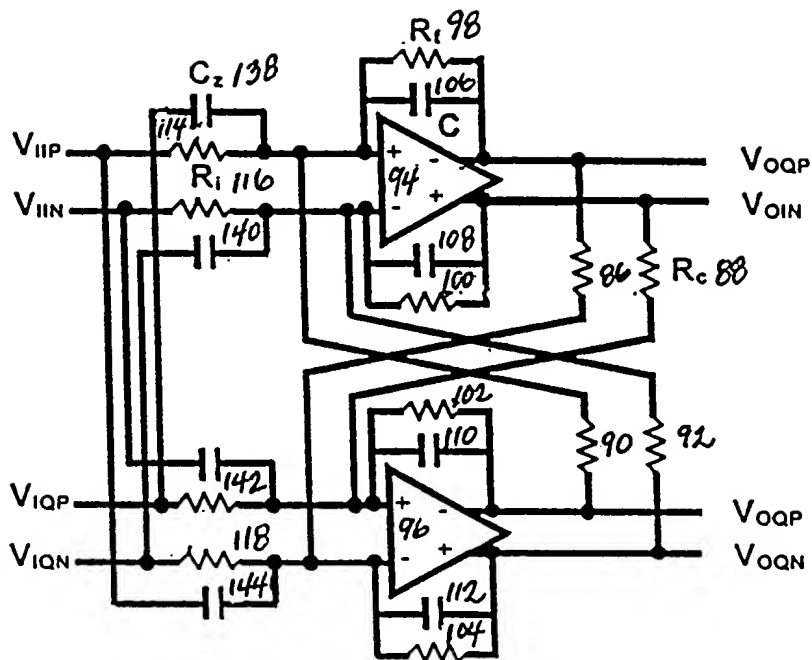


FIG. 10

002207" 86485950

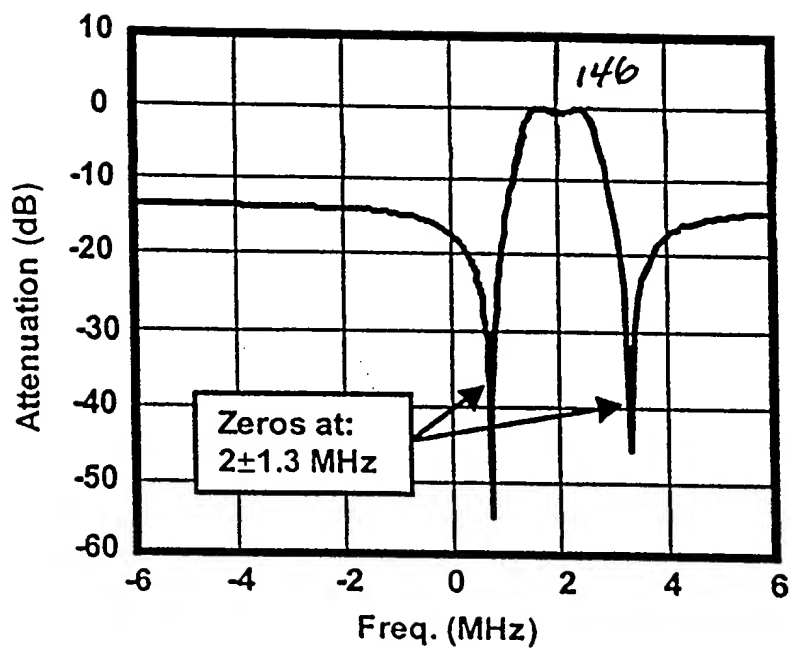


FIG. 11

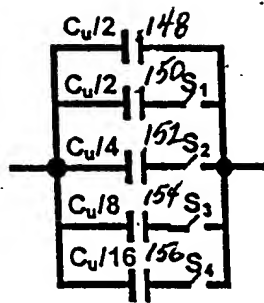


FIG. 12(a)

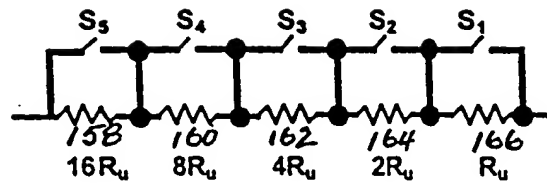


FIG. 12(b)

**090618Z JUL 78**

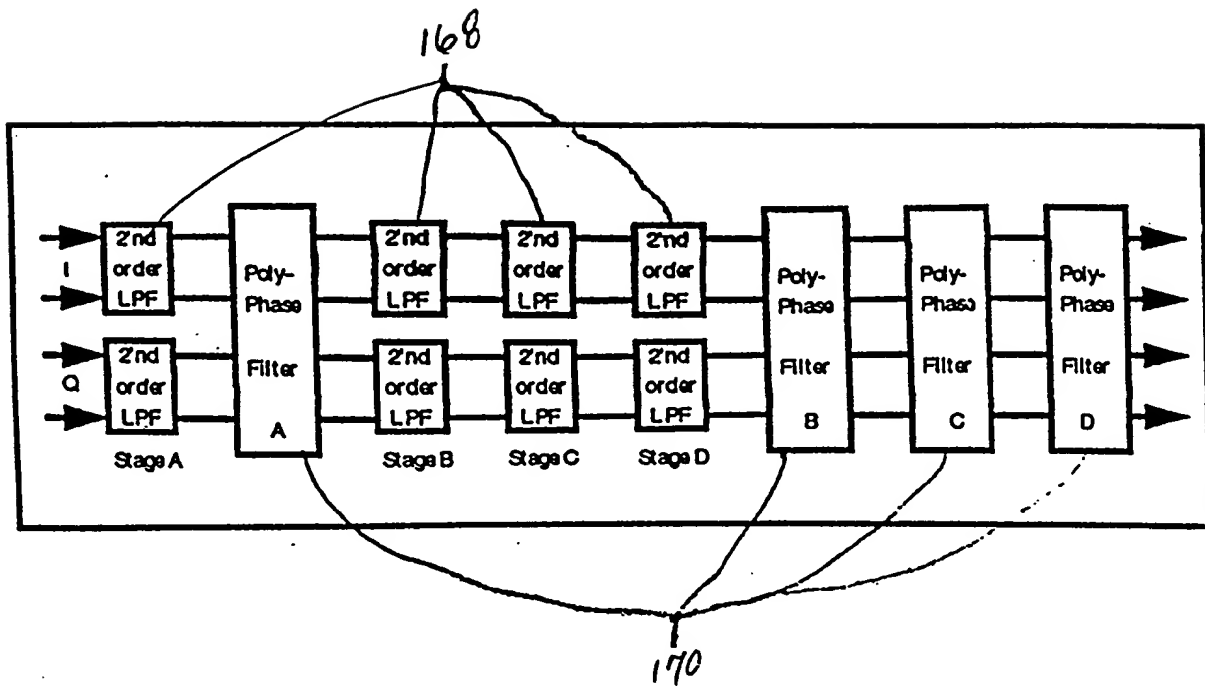


FIG. 13

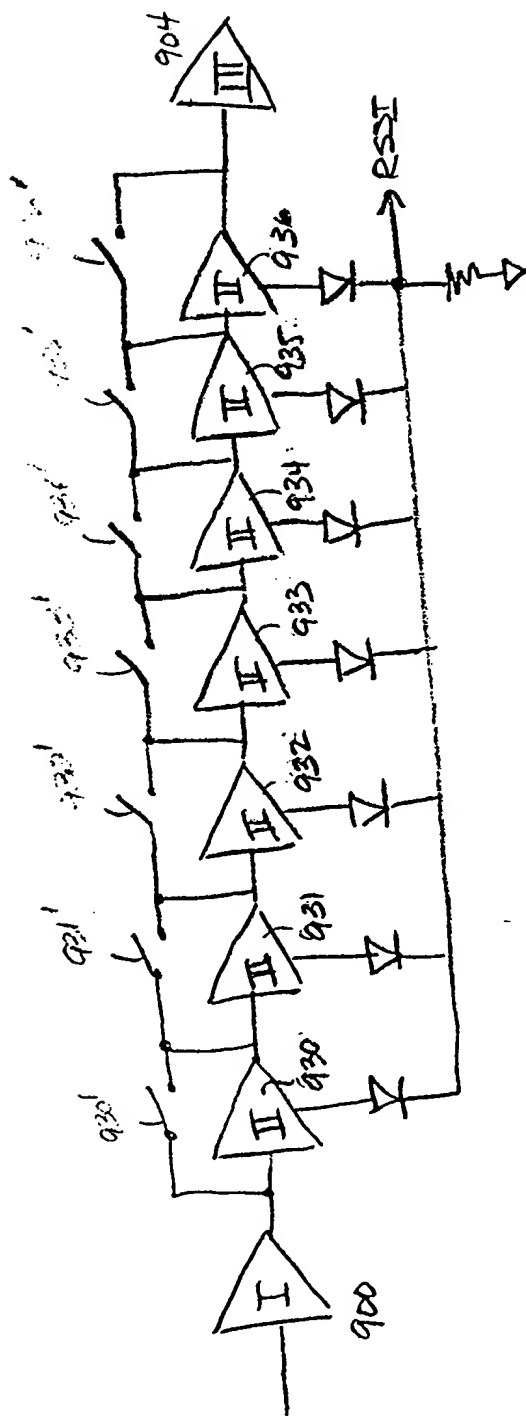


FIG. 14

002207-86486950

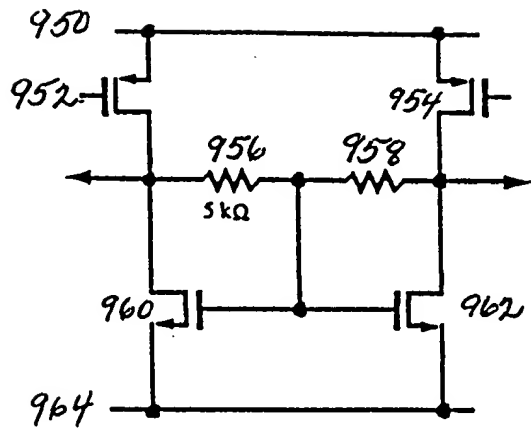


FIG. 15

002207" 85486560

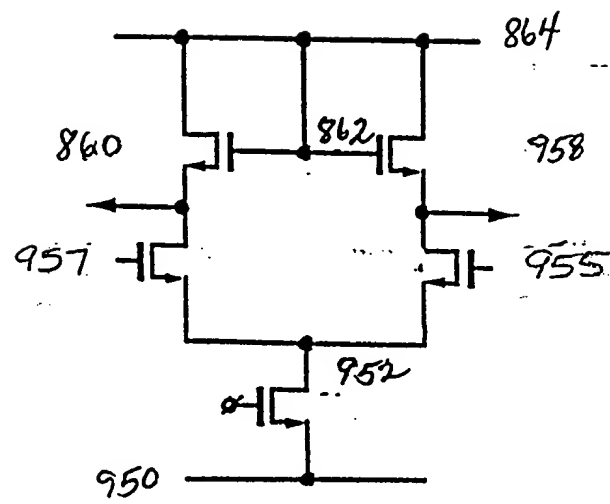


FIG. 16(a)



09698498-102700

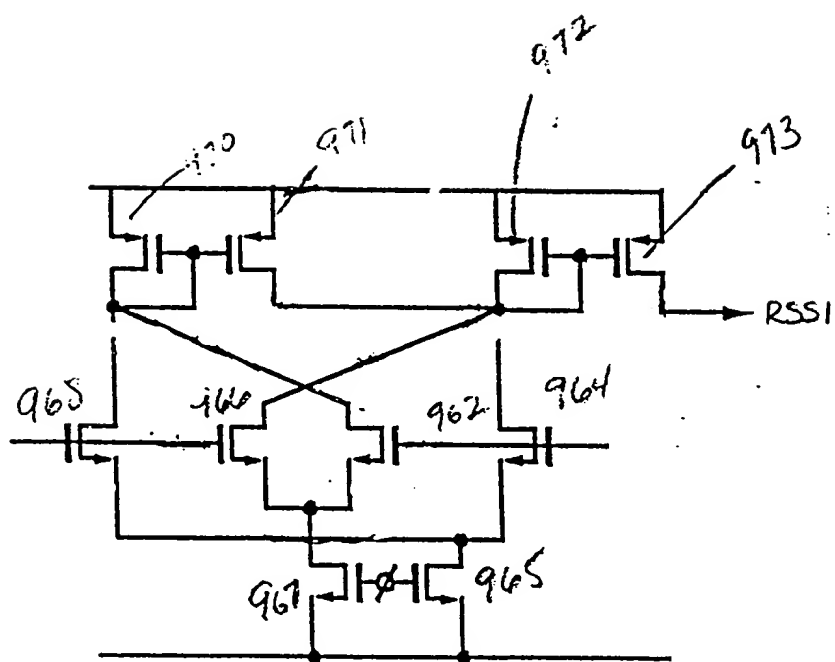


FIG. 16(b)

FIG. 17(a)

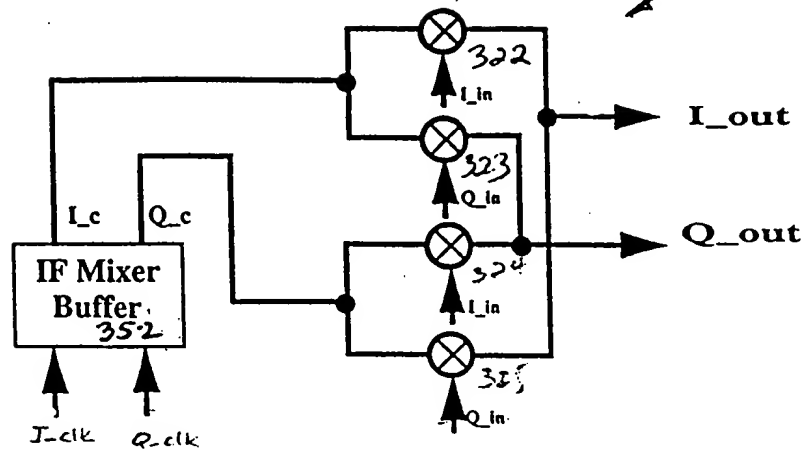


FIG. 17(b)

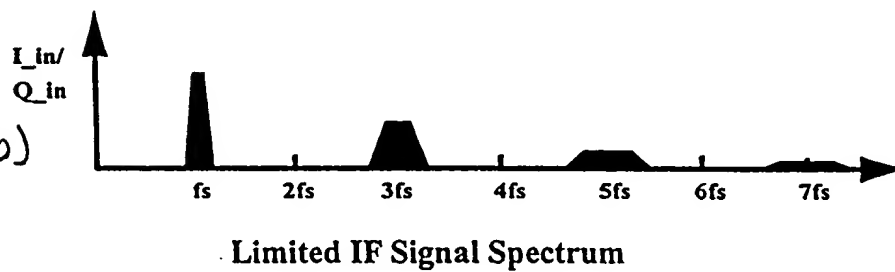


FIG. 17(c)

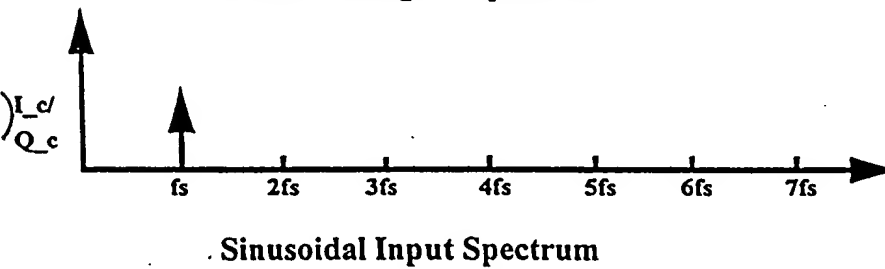


FIG. 17(d)

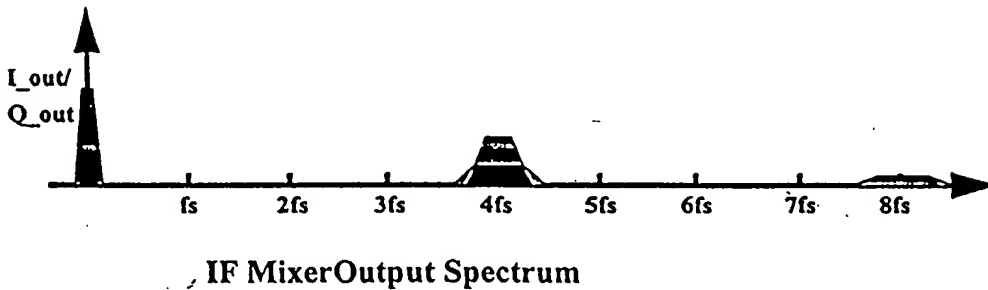


FIG. 18

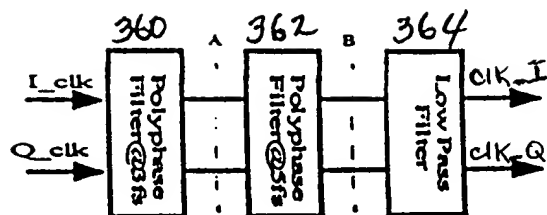


FIG. 19(a)

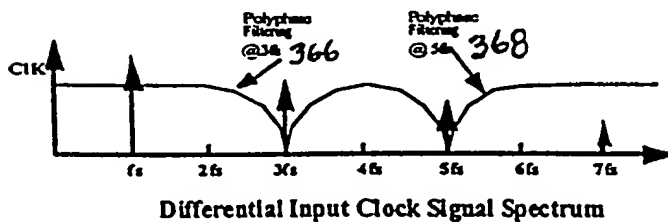


FIG. 19(b)

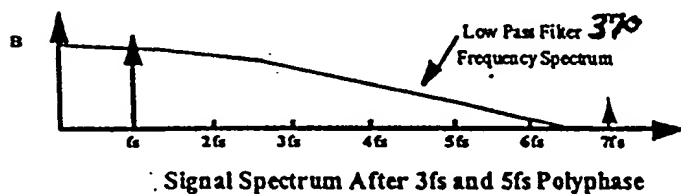
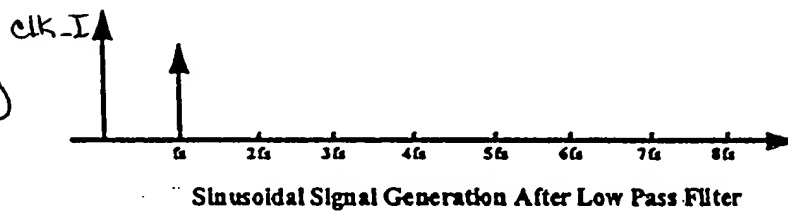


FIG. 19(c)



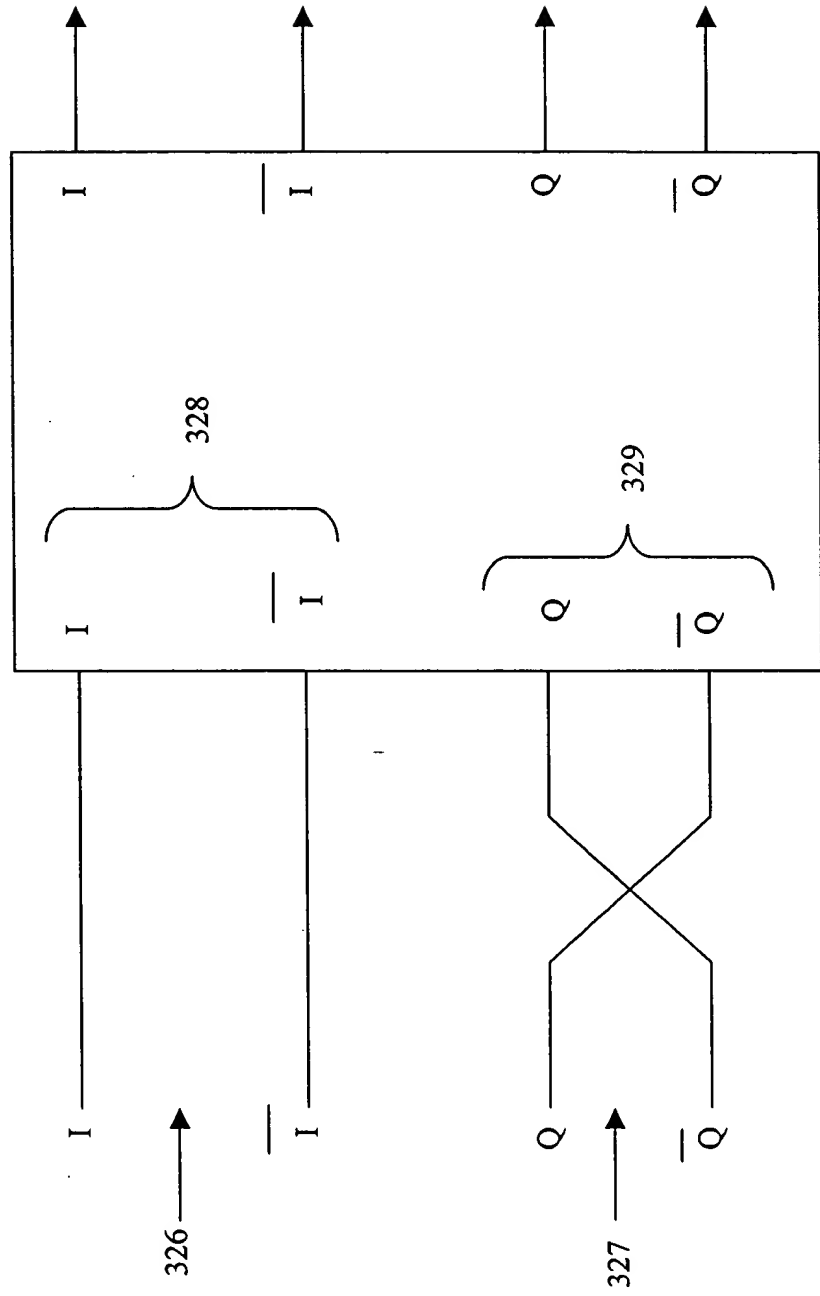


FIG. 19d

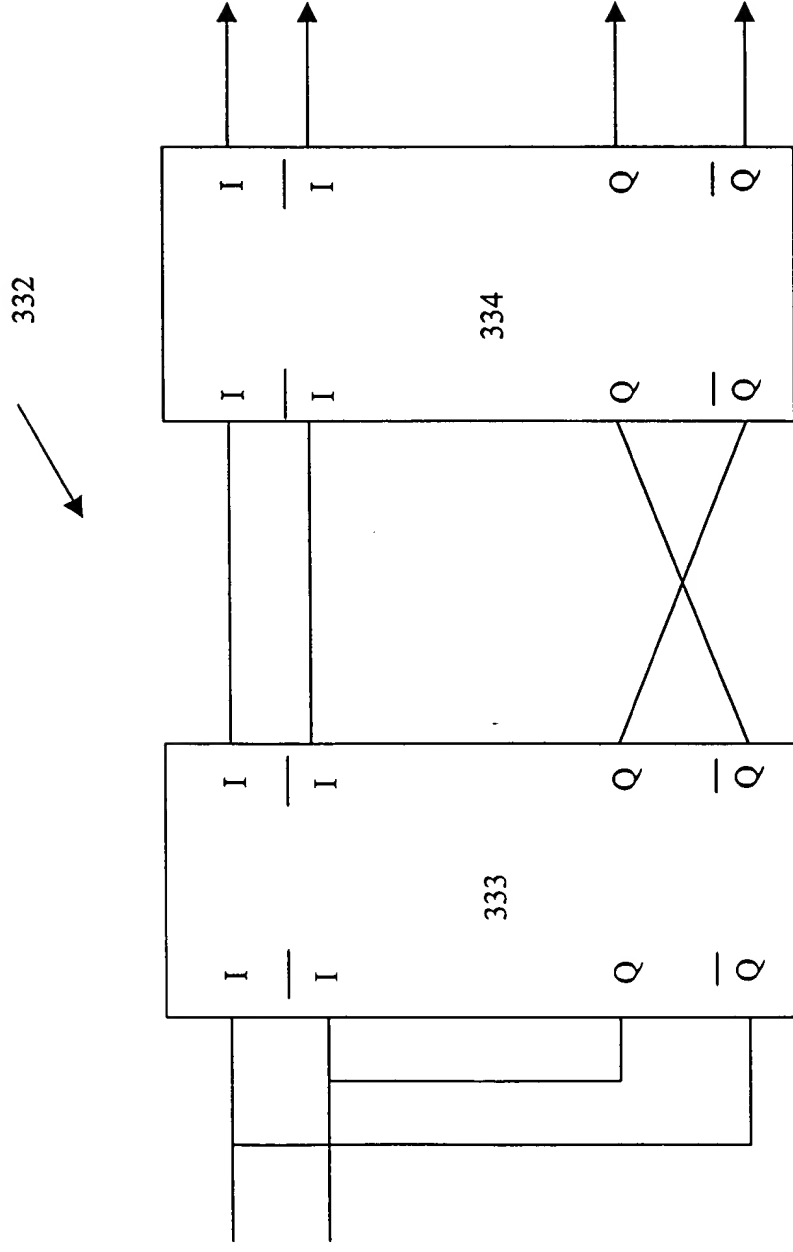


FIG. 19e

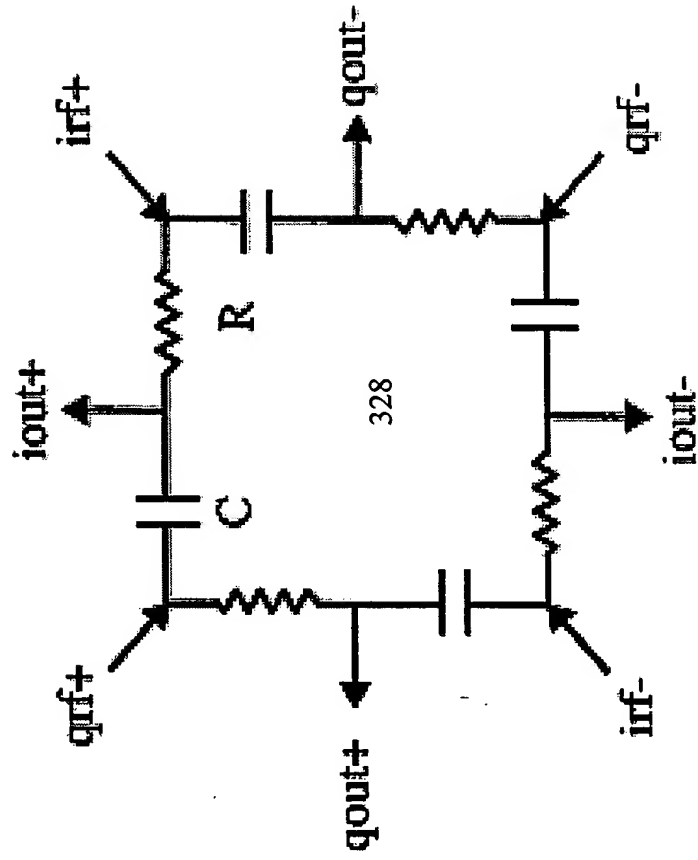
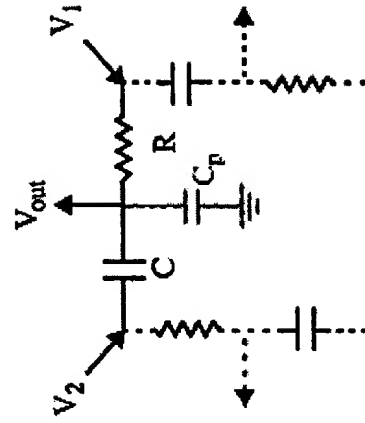


FIG. 19f

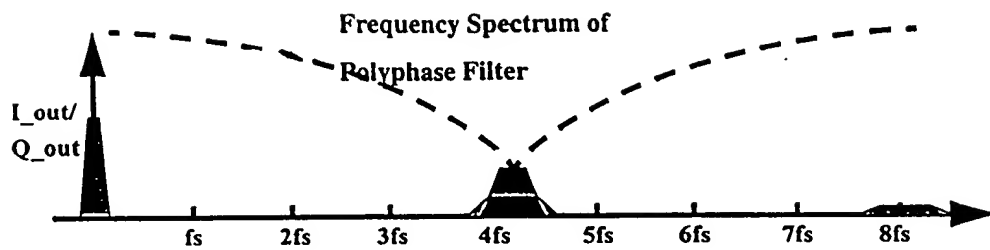


$$\omega_p = \frac{1}{R(C_p + C)}$$

$$\omega_o = \frac{1}{RC}$$

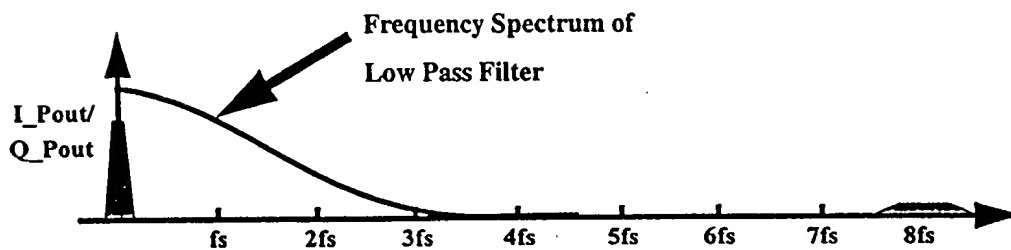
$$V_{out} = \frac{V_1}{R(C_p + C)s + 1} + \frac{V_2 RCs}{R(C_p + C)s + 1}$$

FIG. 19g



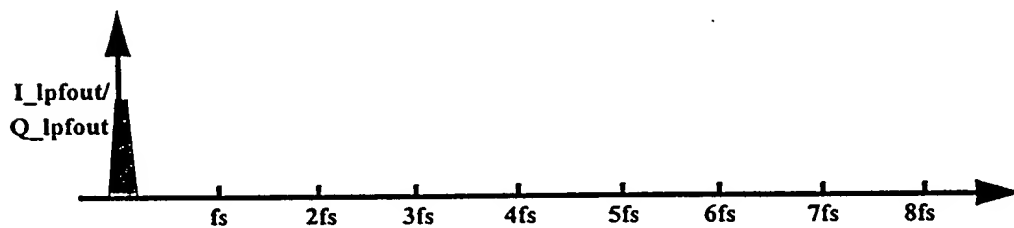
Signal Spectrum at Polyphase Input

FIG. 20(a)



Signal Spectrum at Polyphase Output

FIG. 20(b)



Signal Spectrum at Low Pass Filter Output

FIG. 20(c)

002201" 85486960



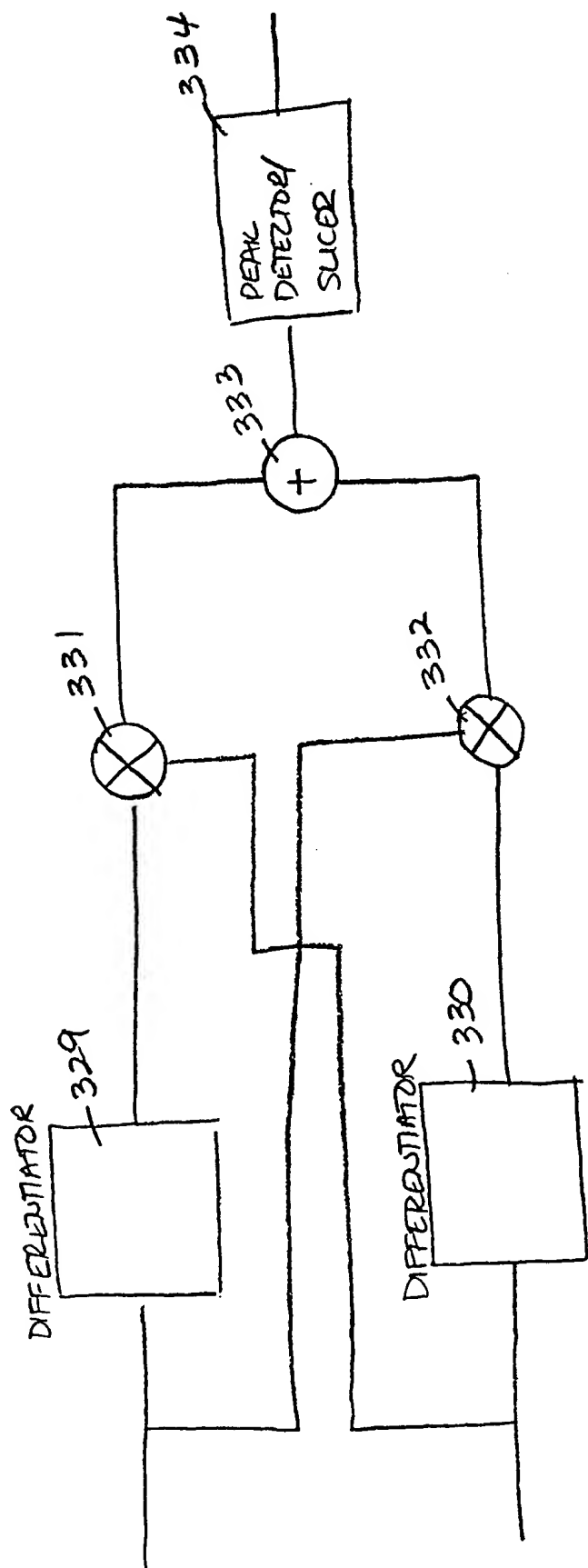


FIG. 21

09698498-102700

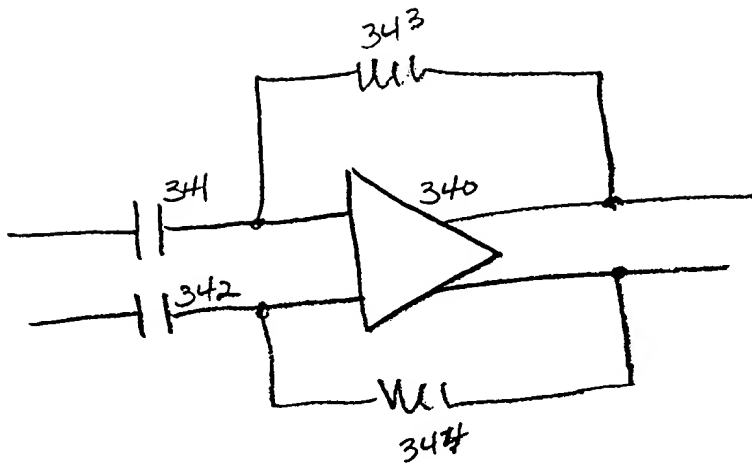


FIGURE 22

09698498.102700

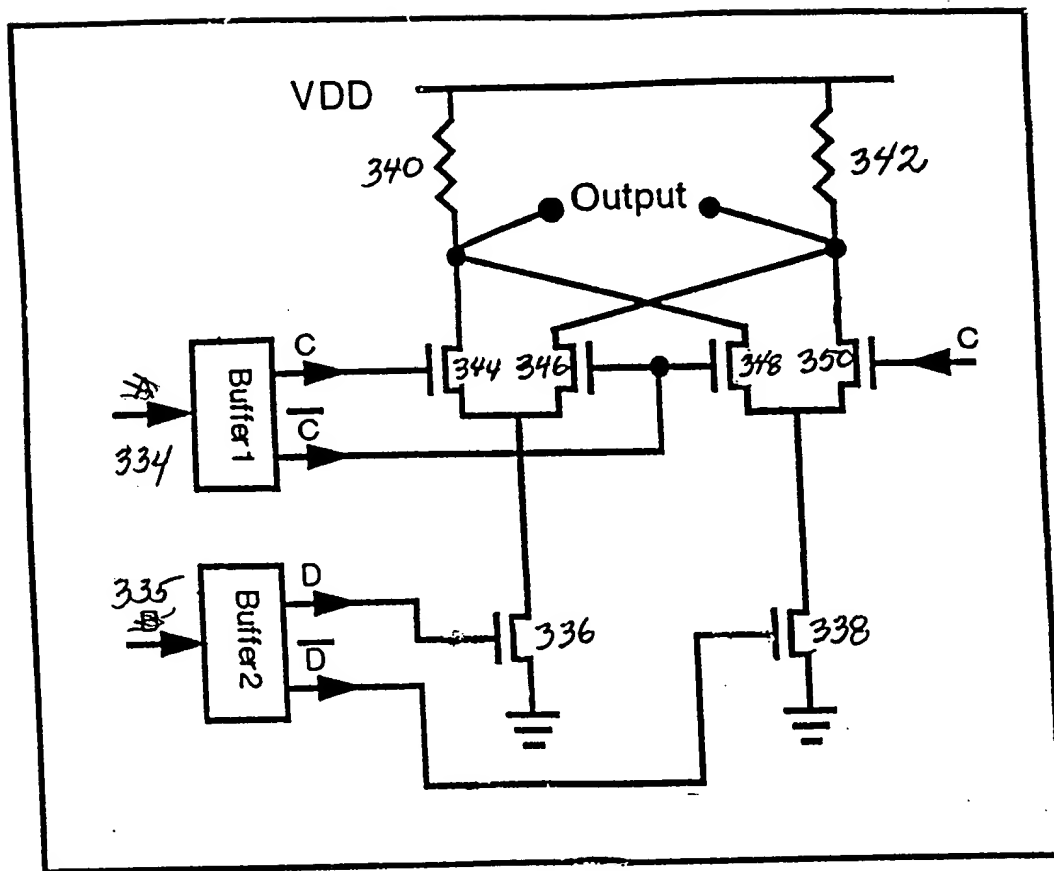


FIG. 23



dot20T" 86486960

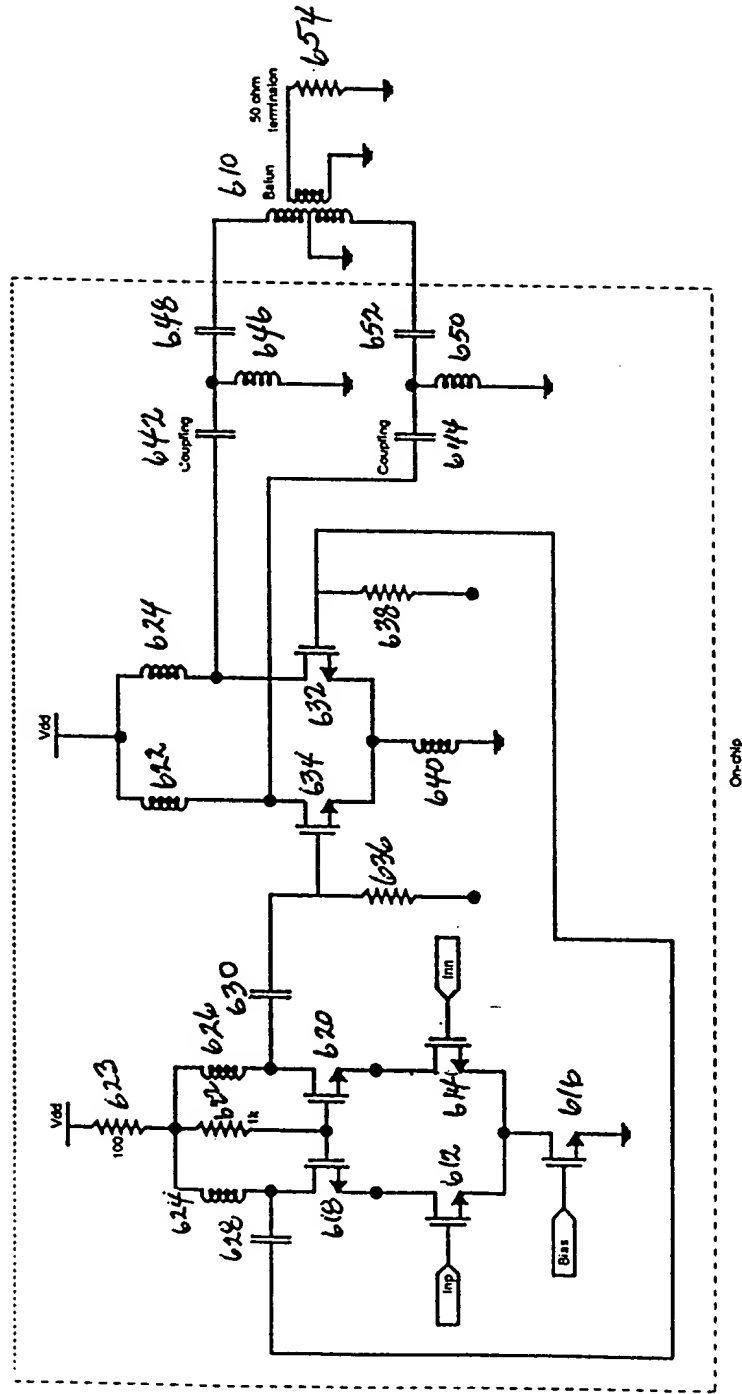


FIG. 25

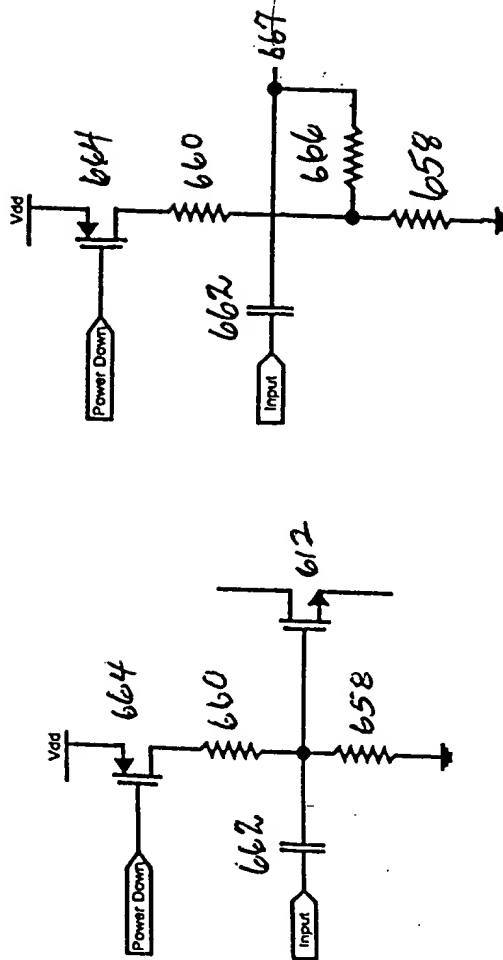


FIG. 26(a)

FIG. 26(b)

09698498-102700

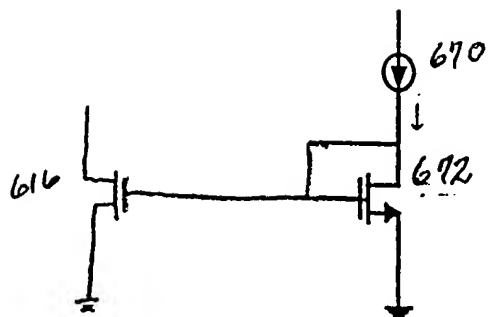


FIG. 27

09698498-102700

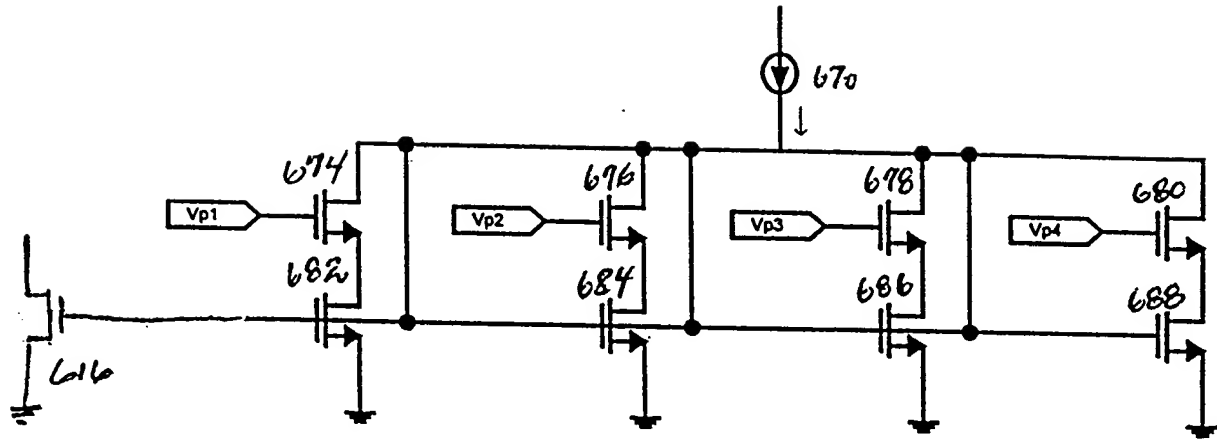


FIG. 28



002201" 85486960

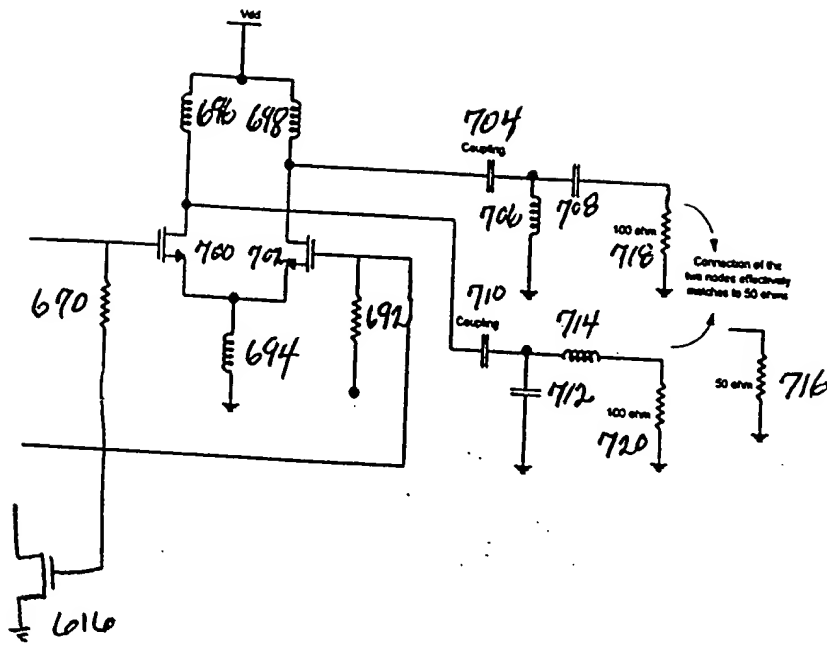


FIG. 29

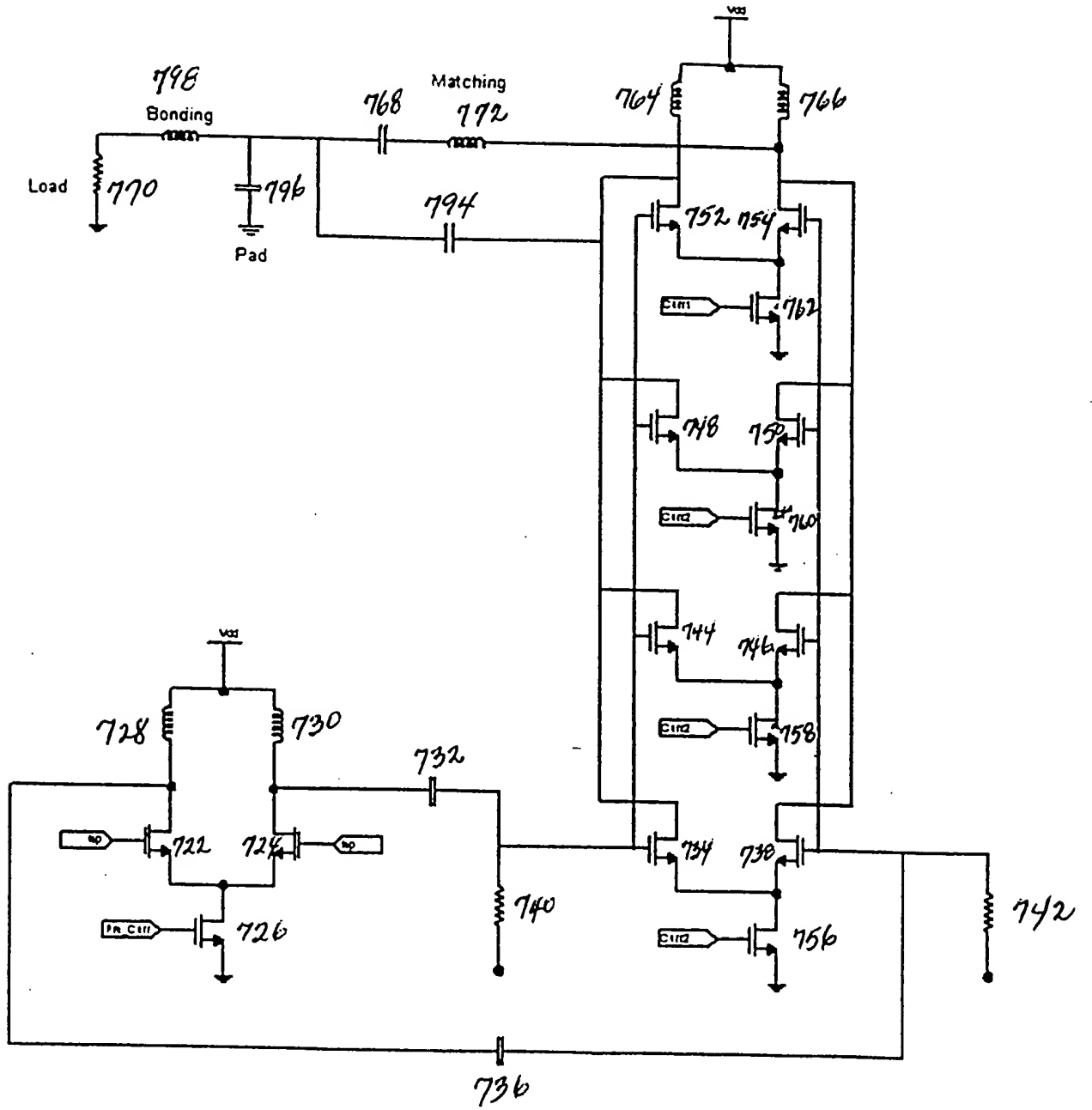


FIG. 30A



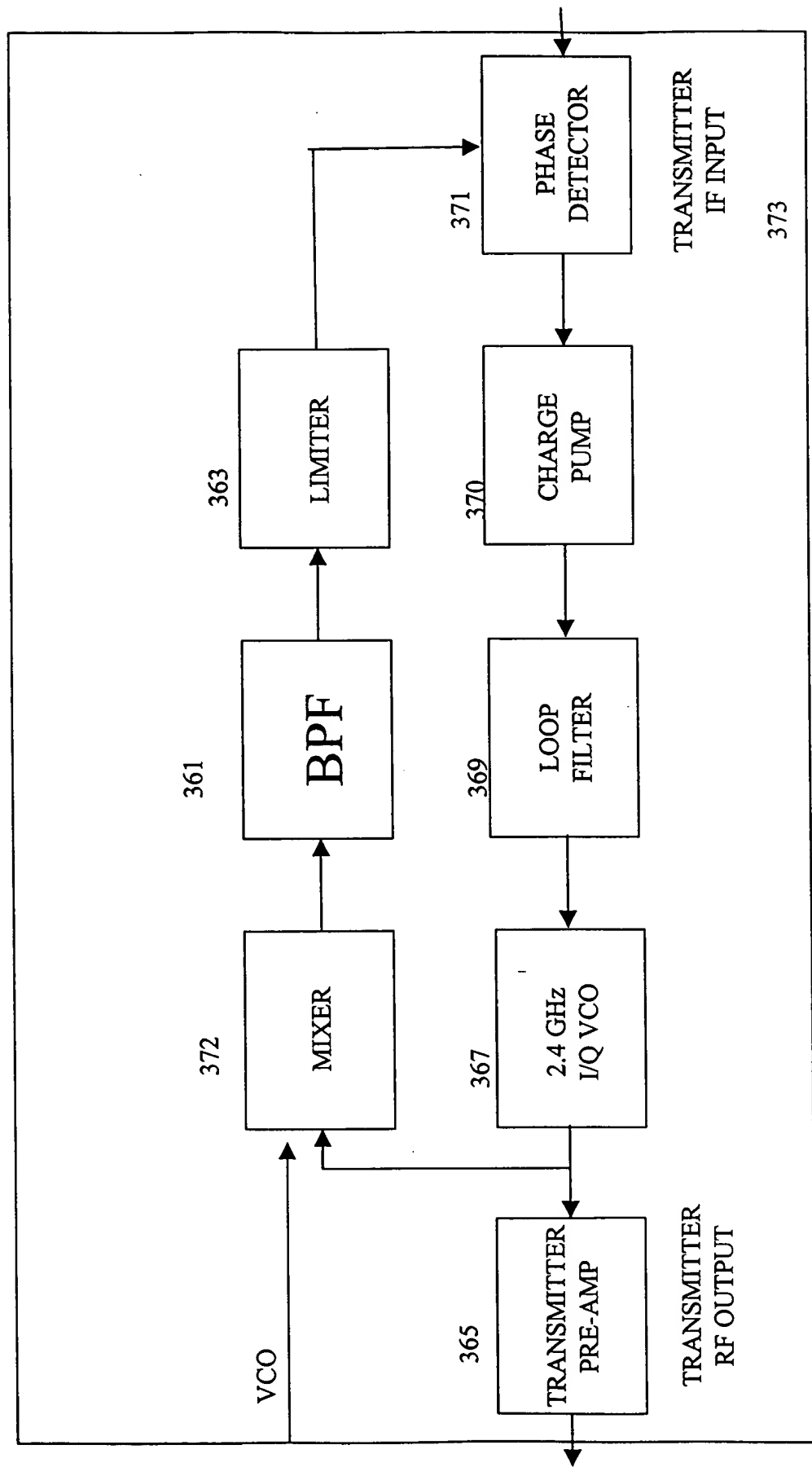


FIG. 30c

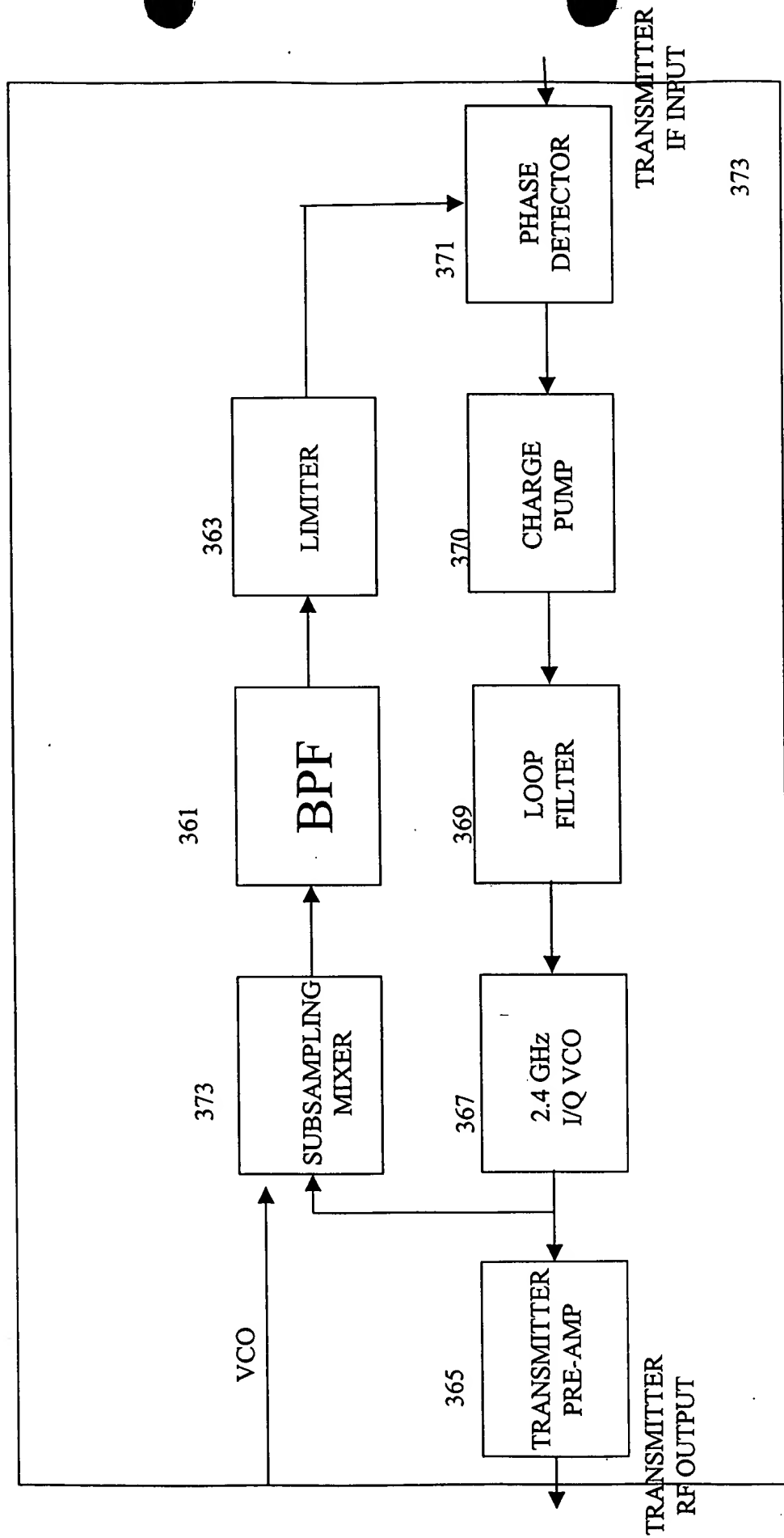


FIG. 30d

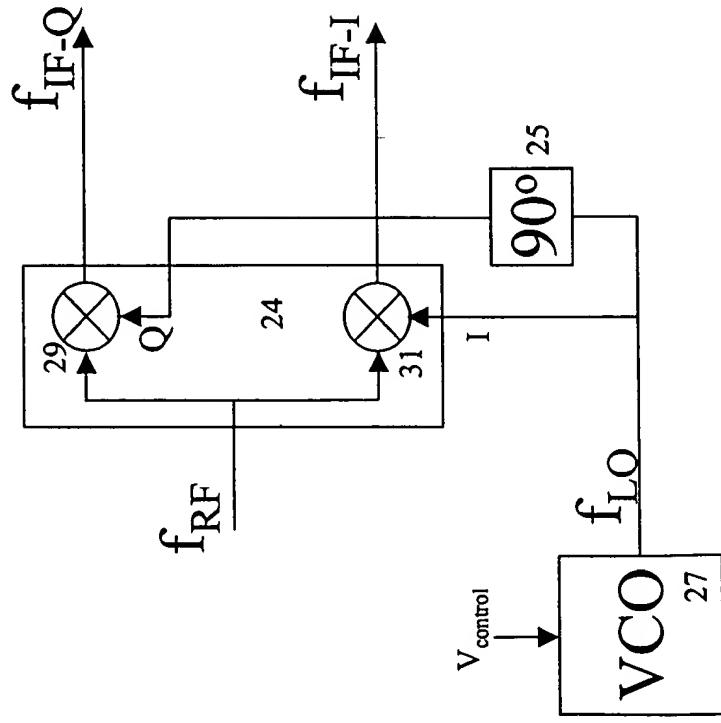


FIG. 30e

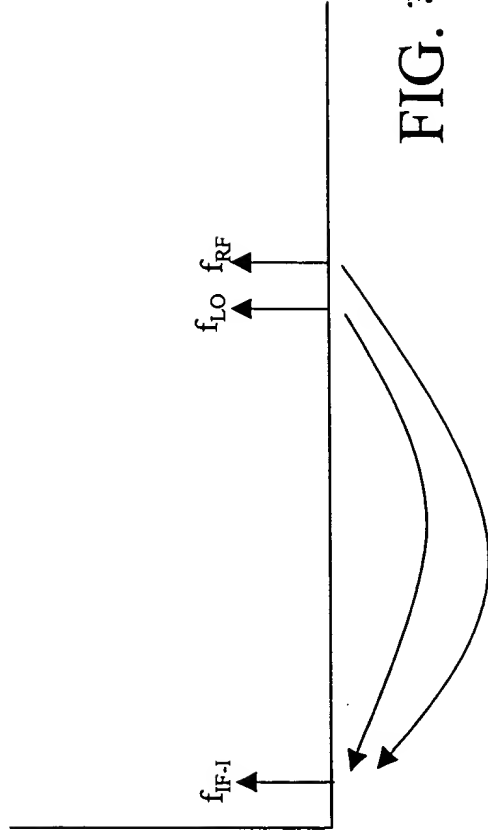


FIG. 30f

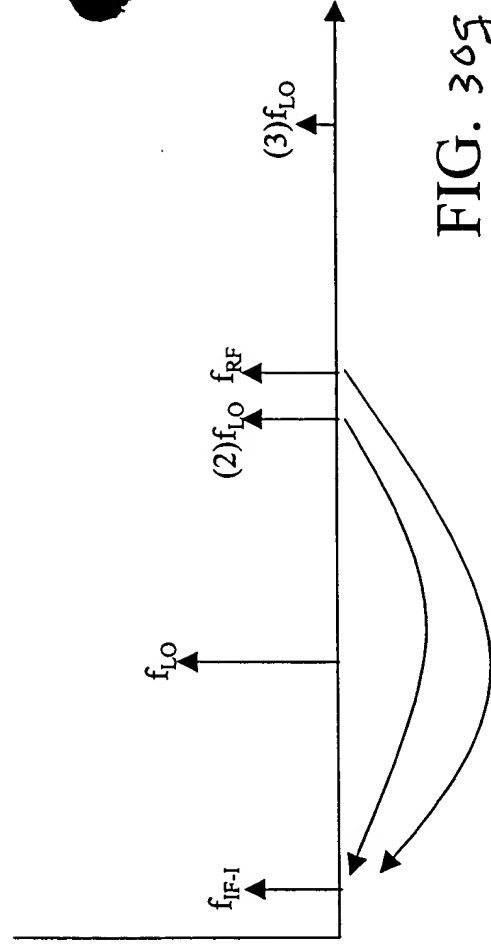


FIG. 30g

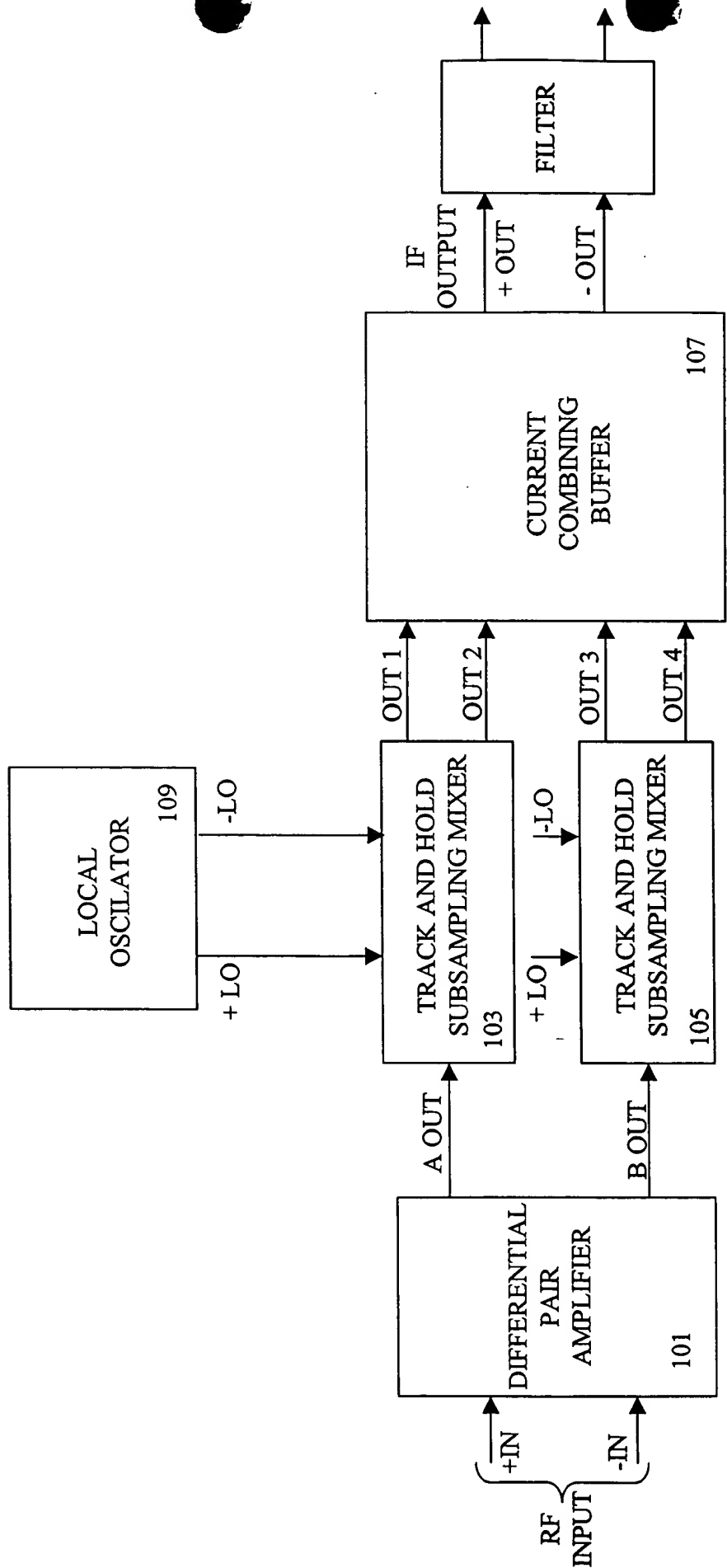


FIG. 30k

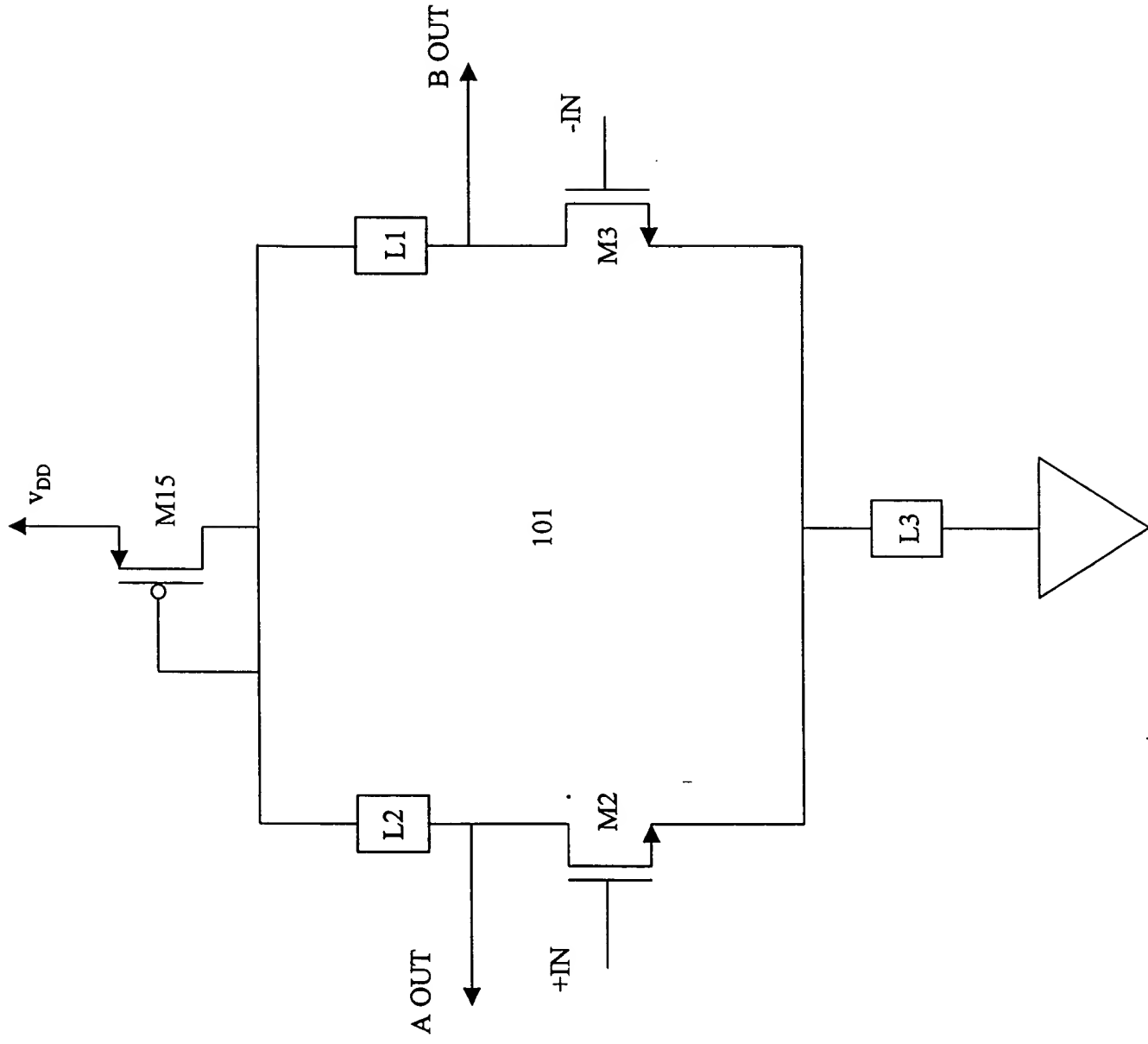
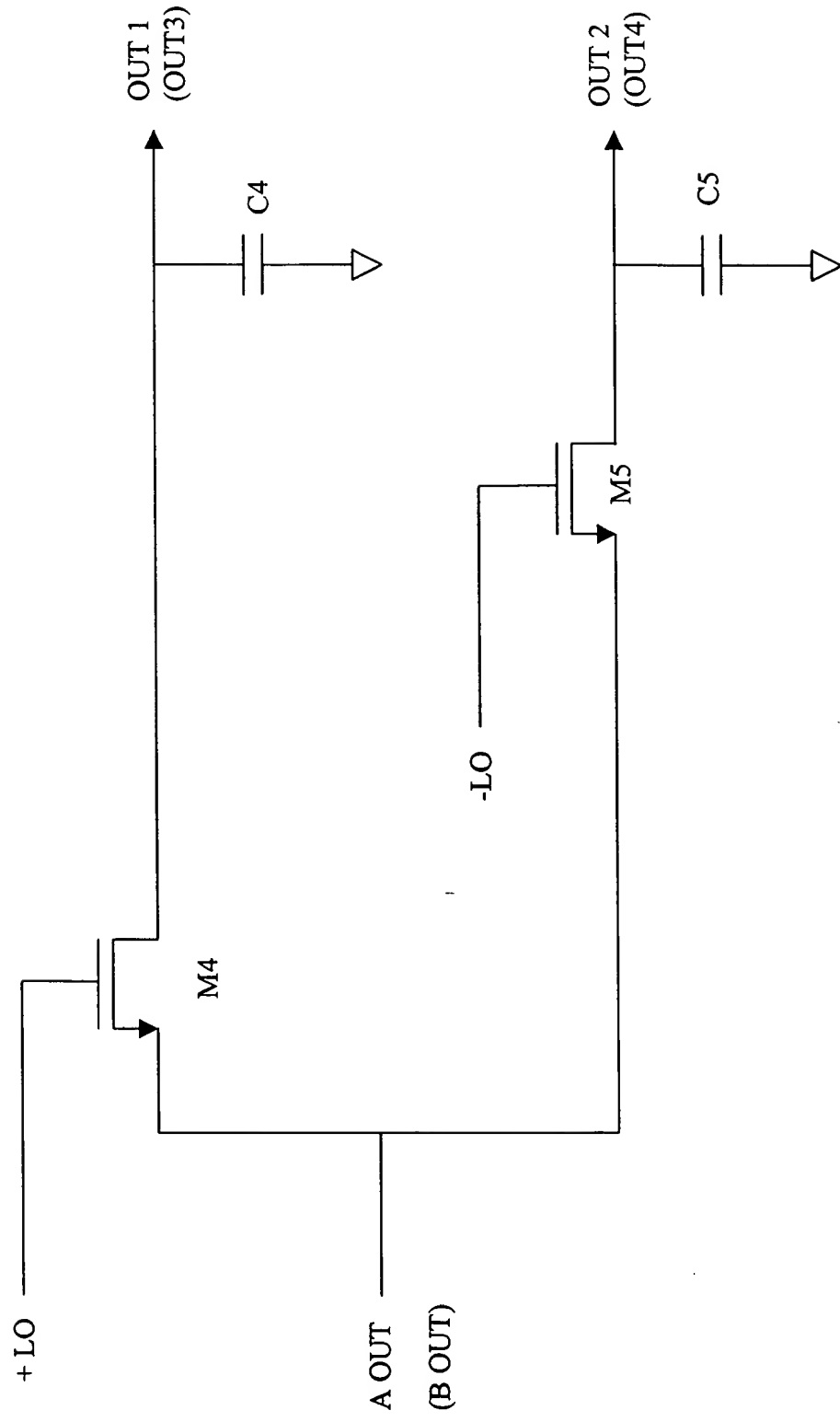


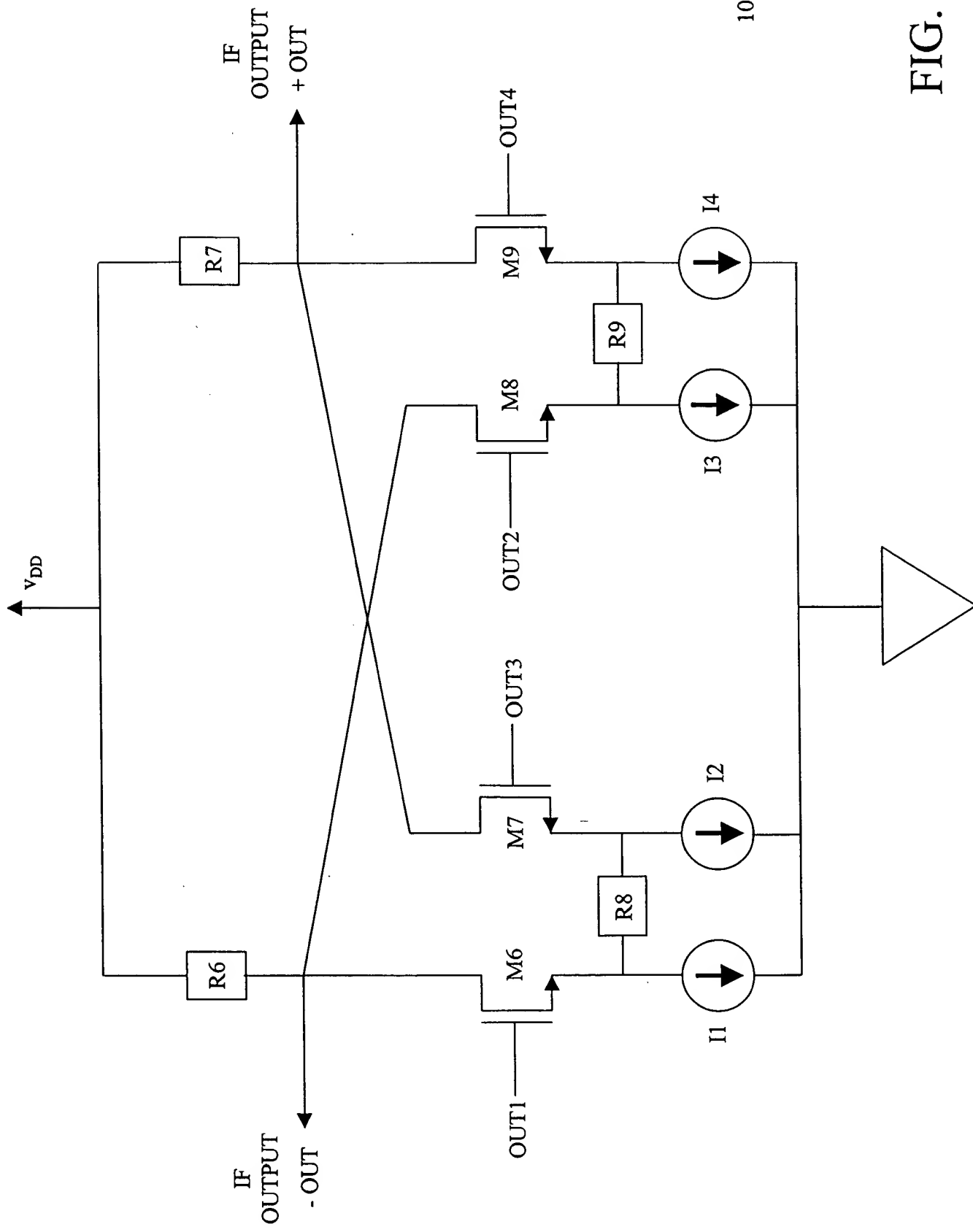
FIG. 30a





105  
(103)

FIG. 30j



107

FIG. 30k

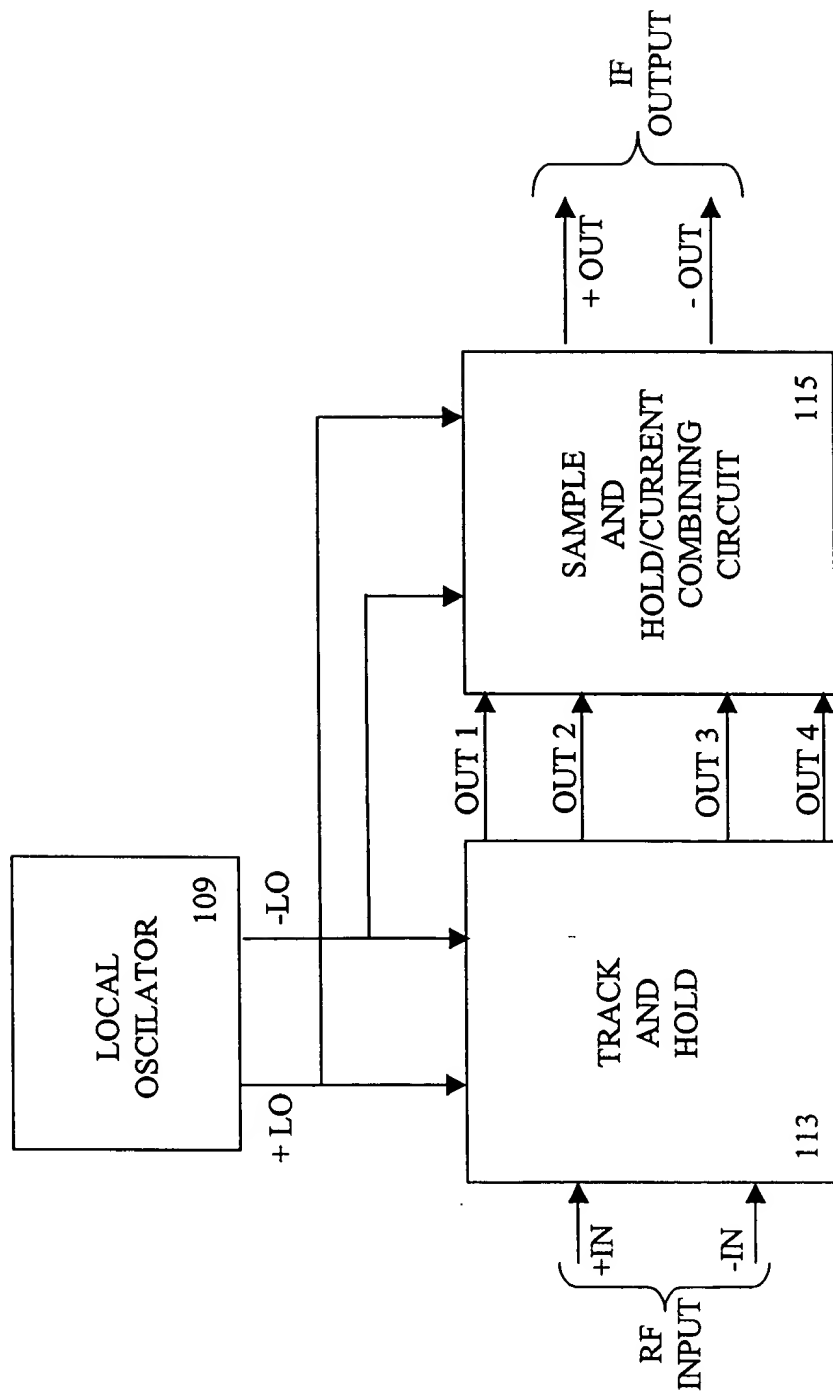




FIG. 30.m



FIG. 30W

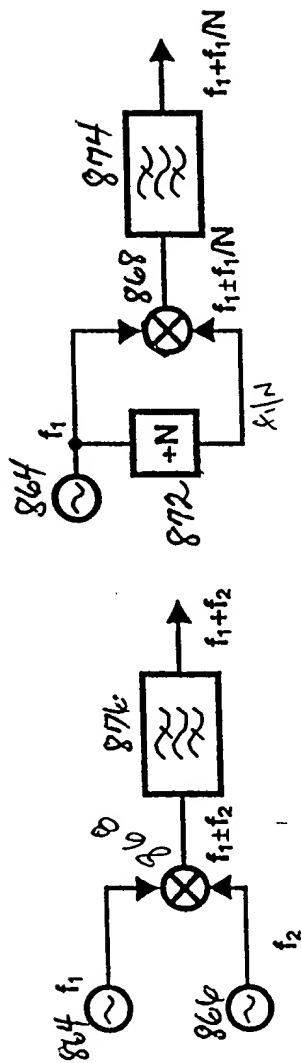


FIG. 31(a)

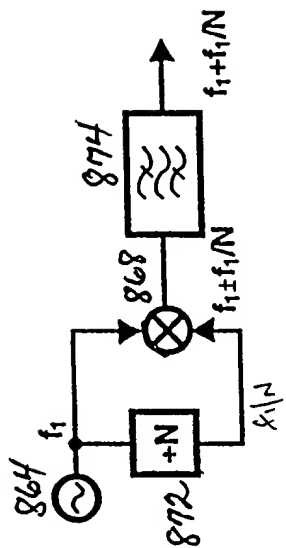


FIG. 31(b)

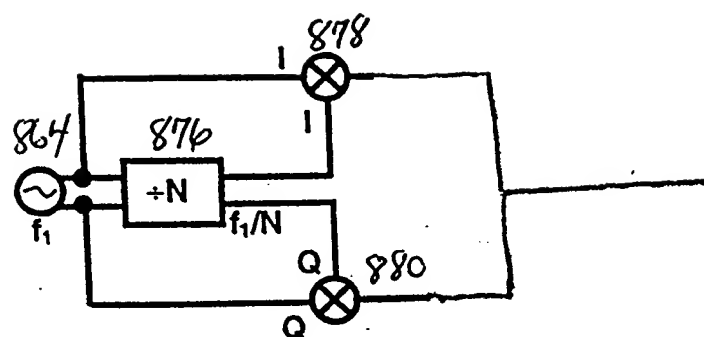
[illegible]

FIG. 32





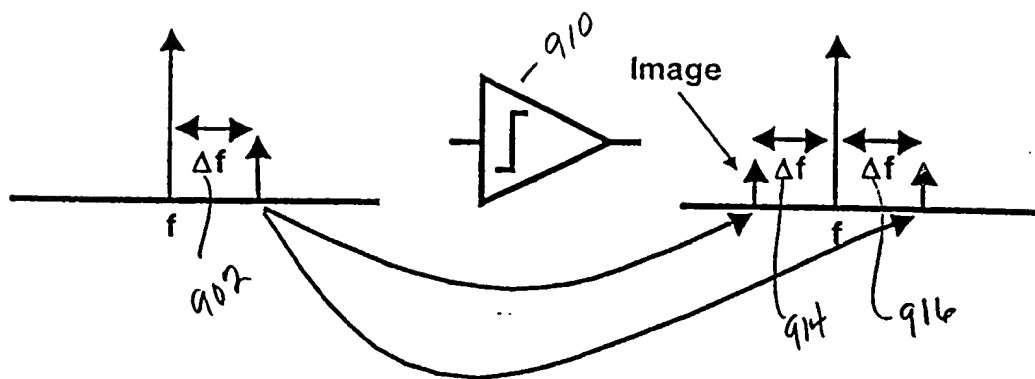


FIG. 33(b)

**SECRET**

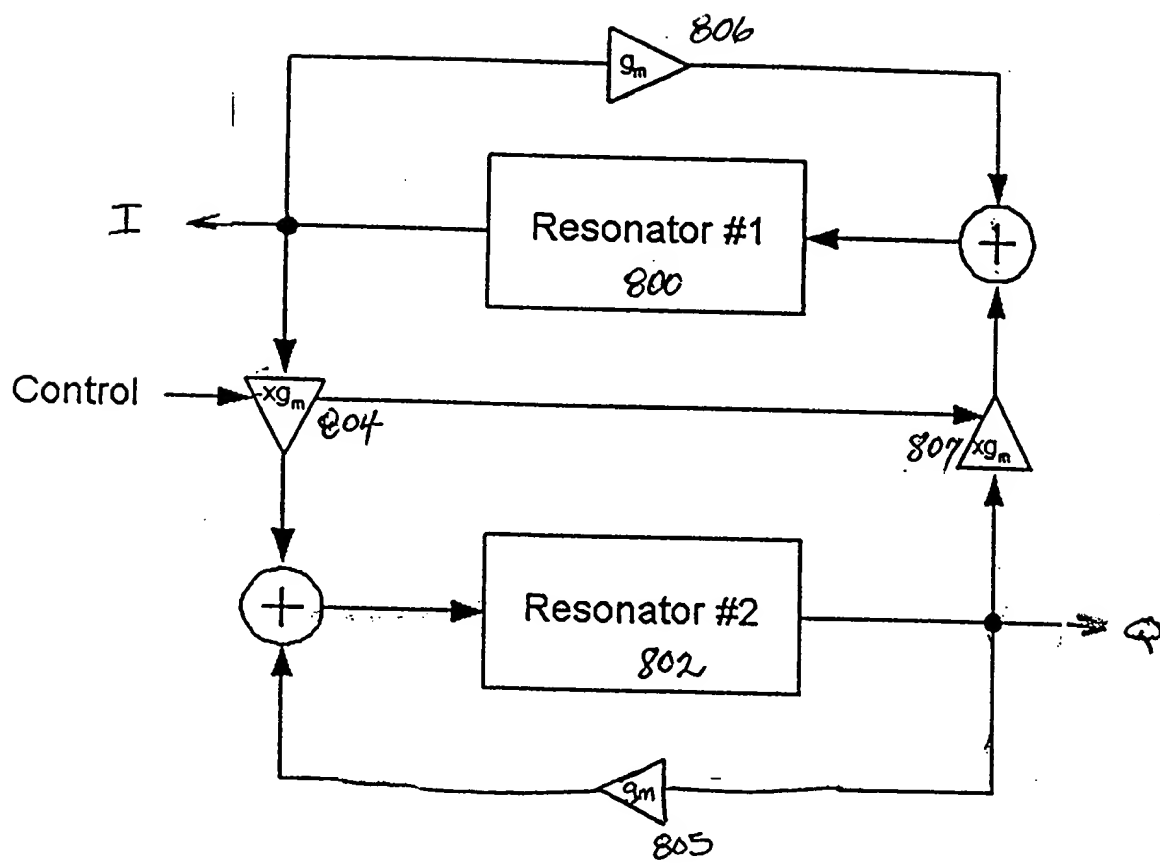


FIG. 34

\_\_\_\_\_

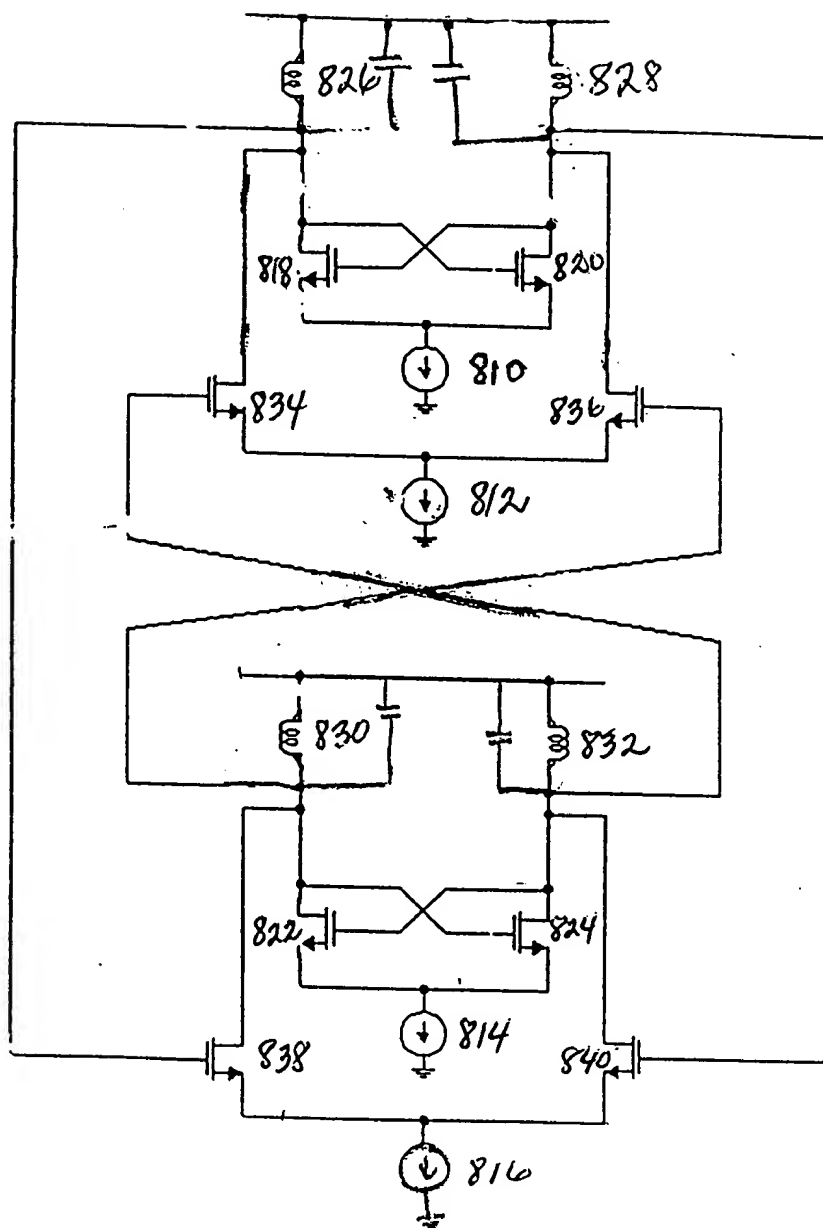


FIG. 35



FIG. 37(a)

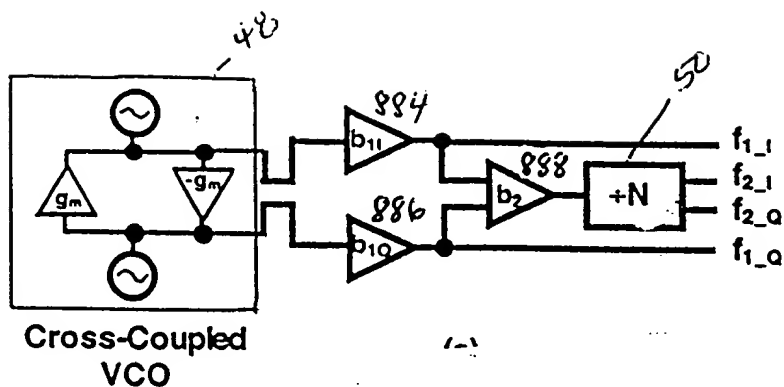
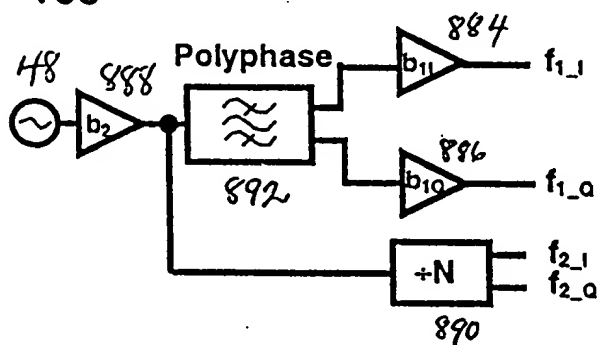


FIG. 37(b)



002207 86486960

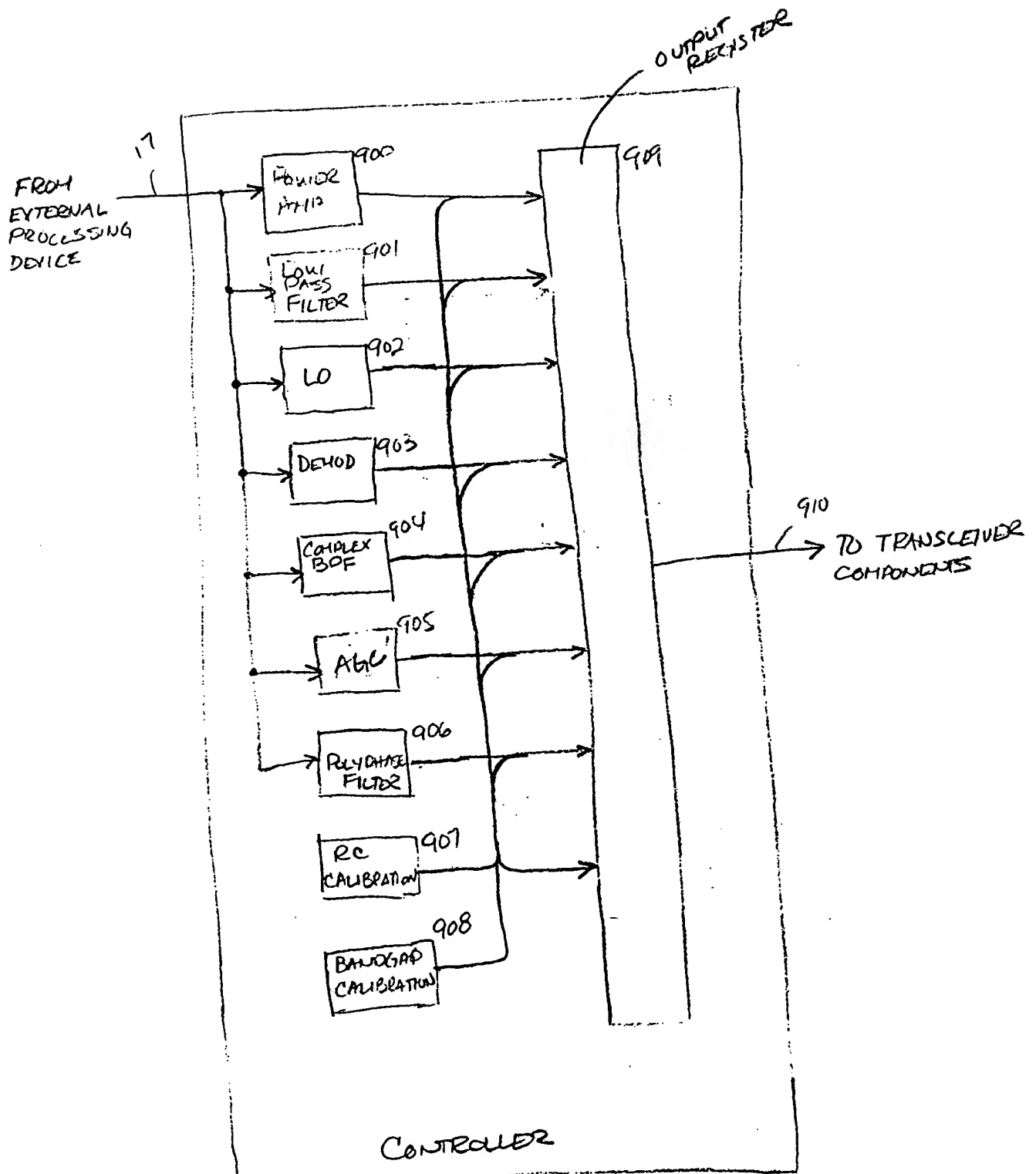


FIGURE 38

FIG. 39

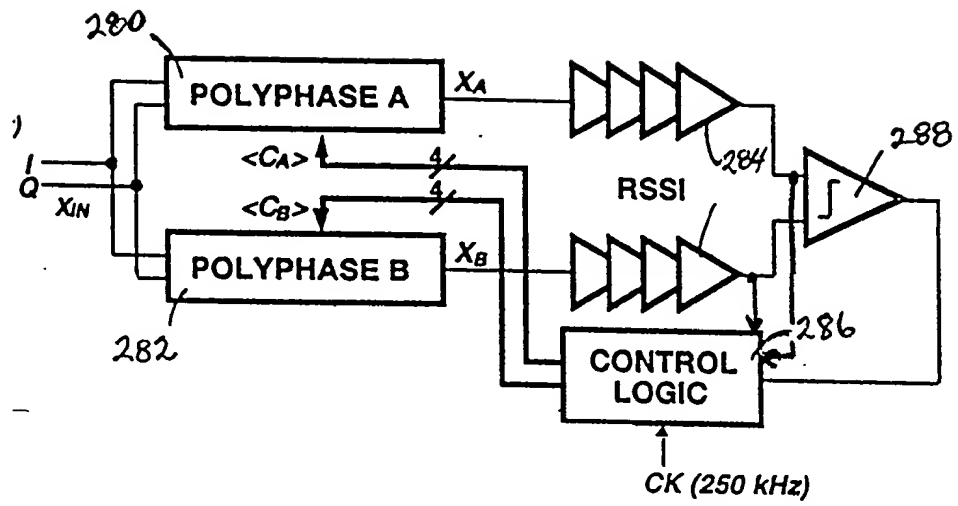


FIG. 40



002207-86486960

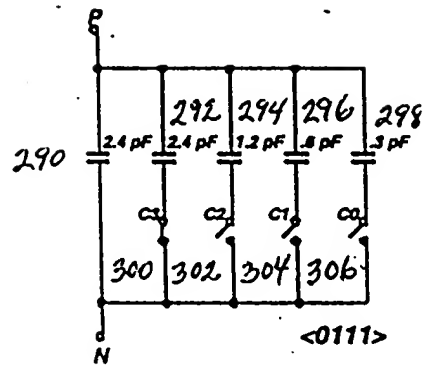
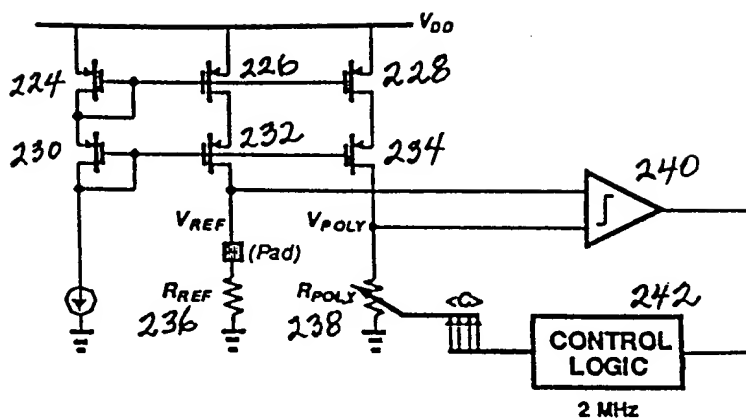


FIG. 41

FIG. 42



002207-86485960

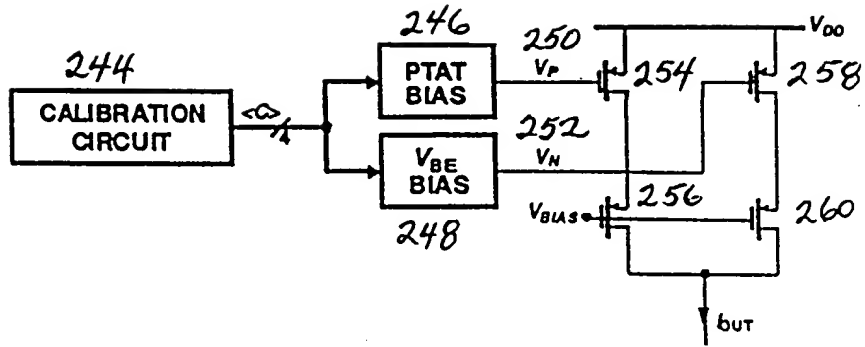


FIG. 43

002207-8648493-102700

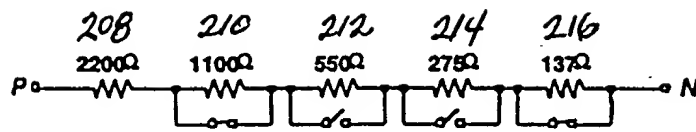


FIG. 44

09698498.102700

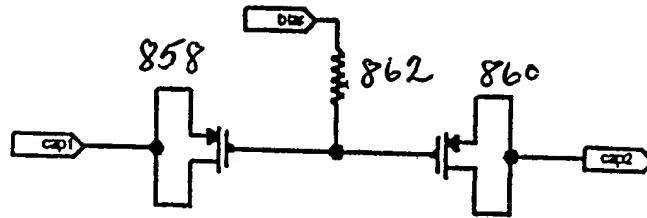


FIG. 45

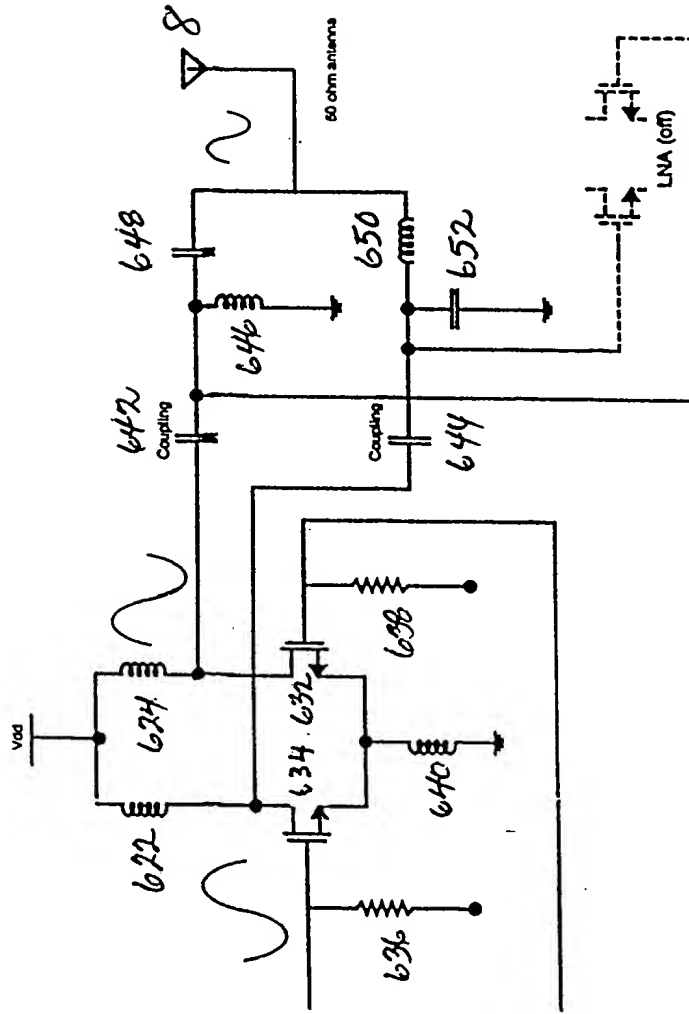


FIG. 46

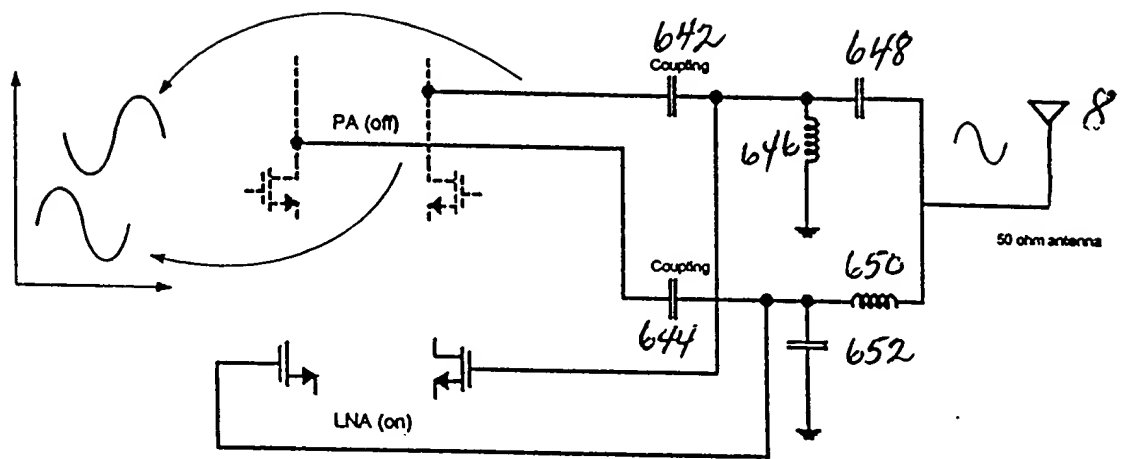


FIG. 47

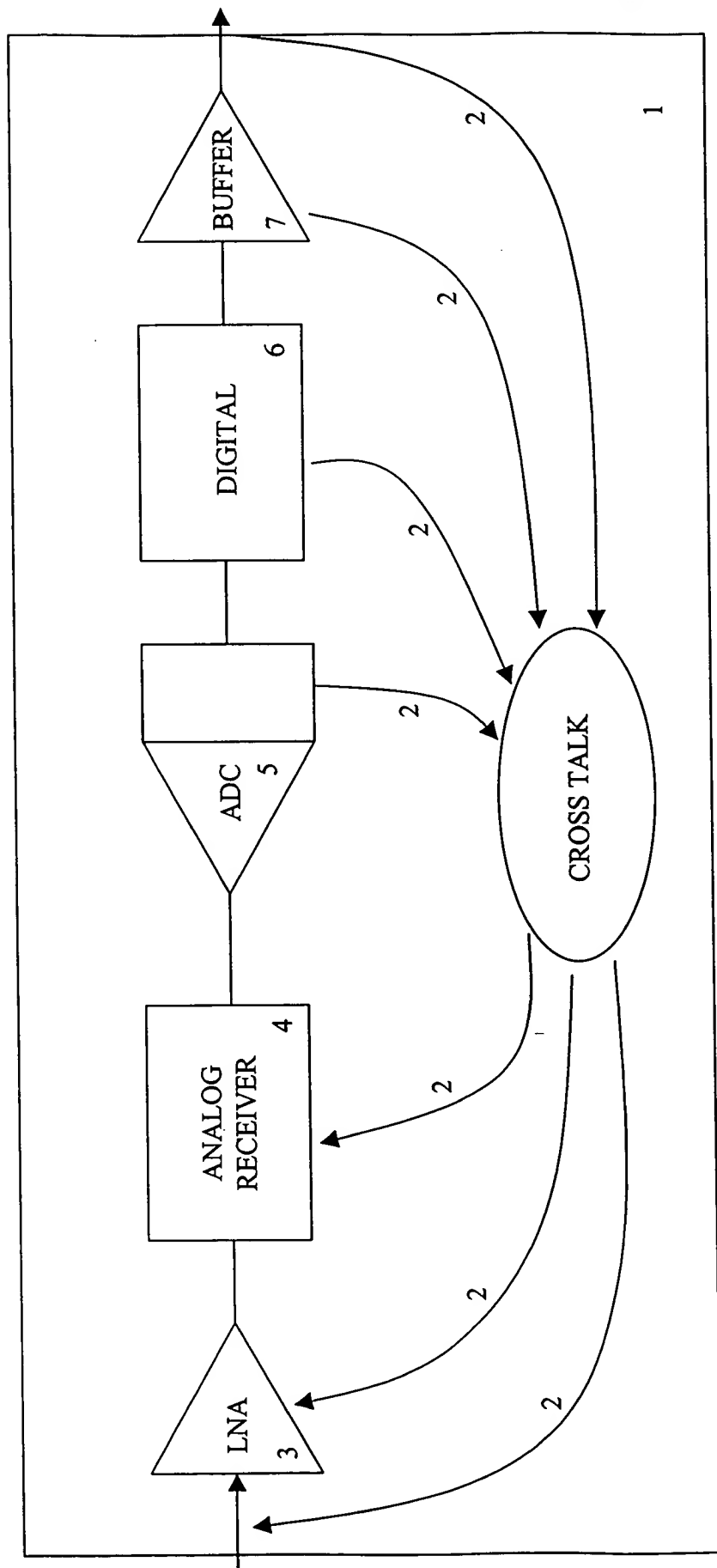


FIG. 48a



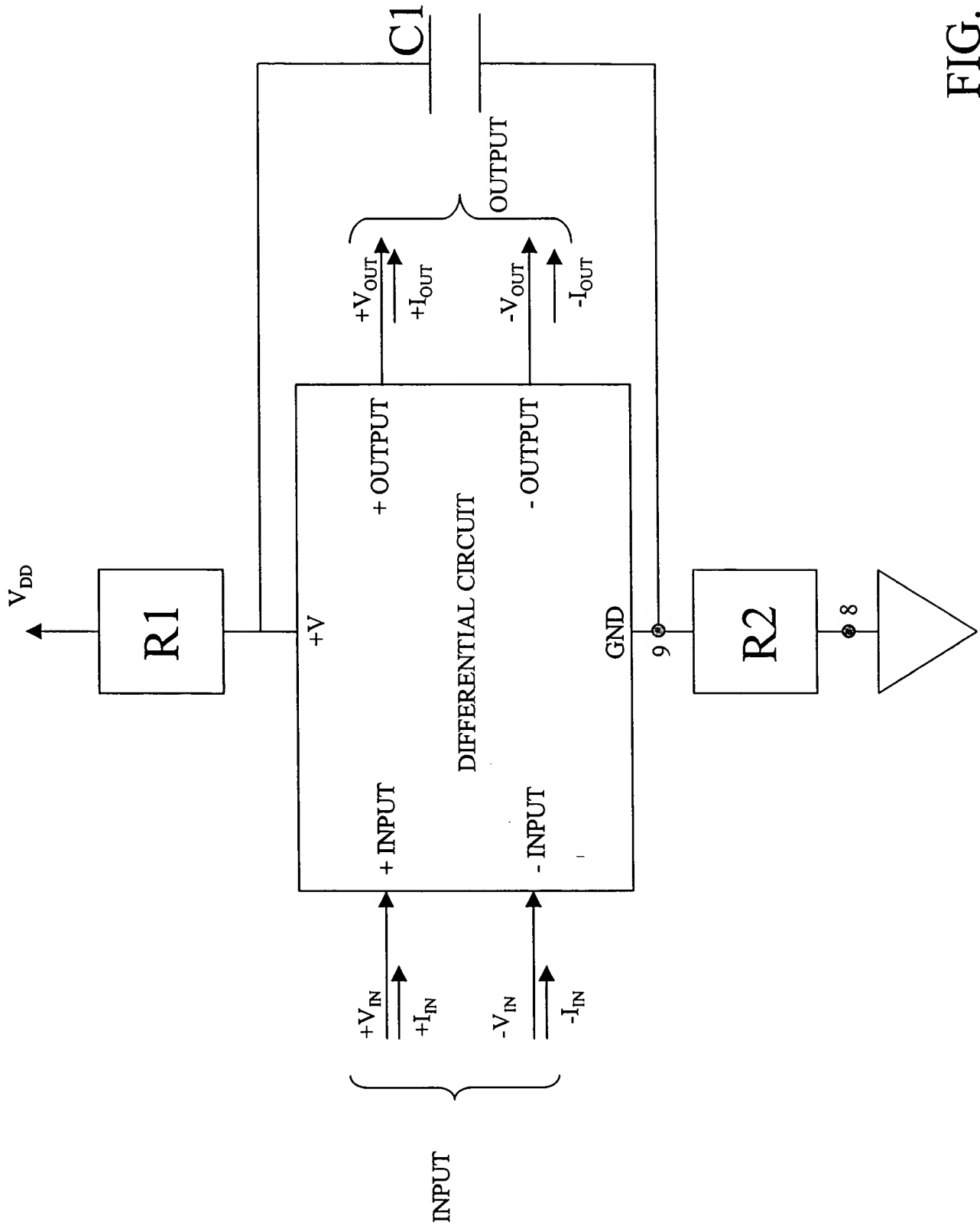


FIG. 406



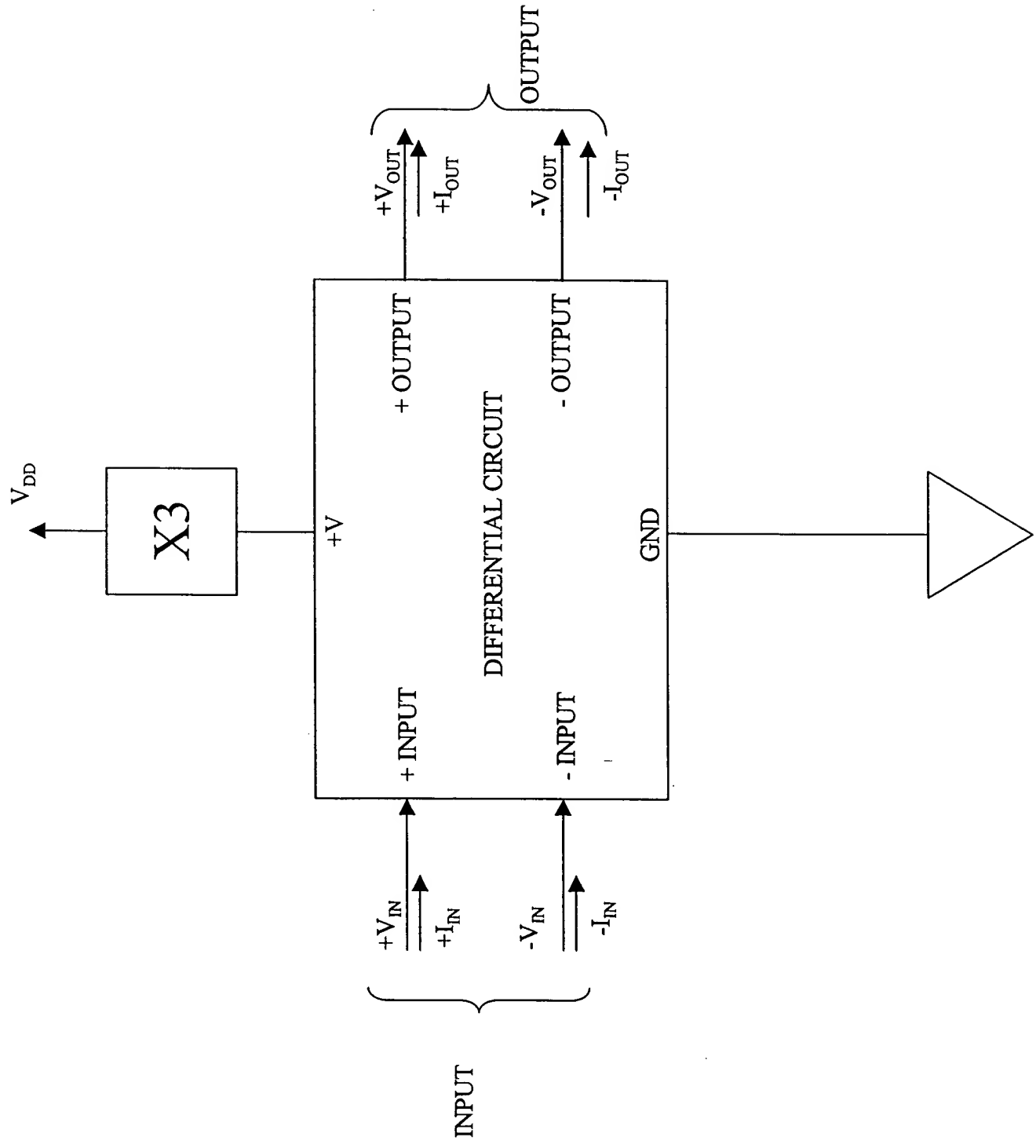


FIG. 48d



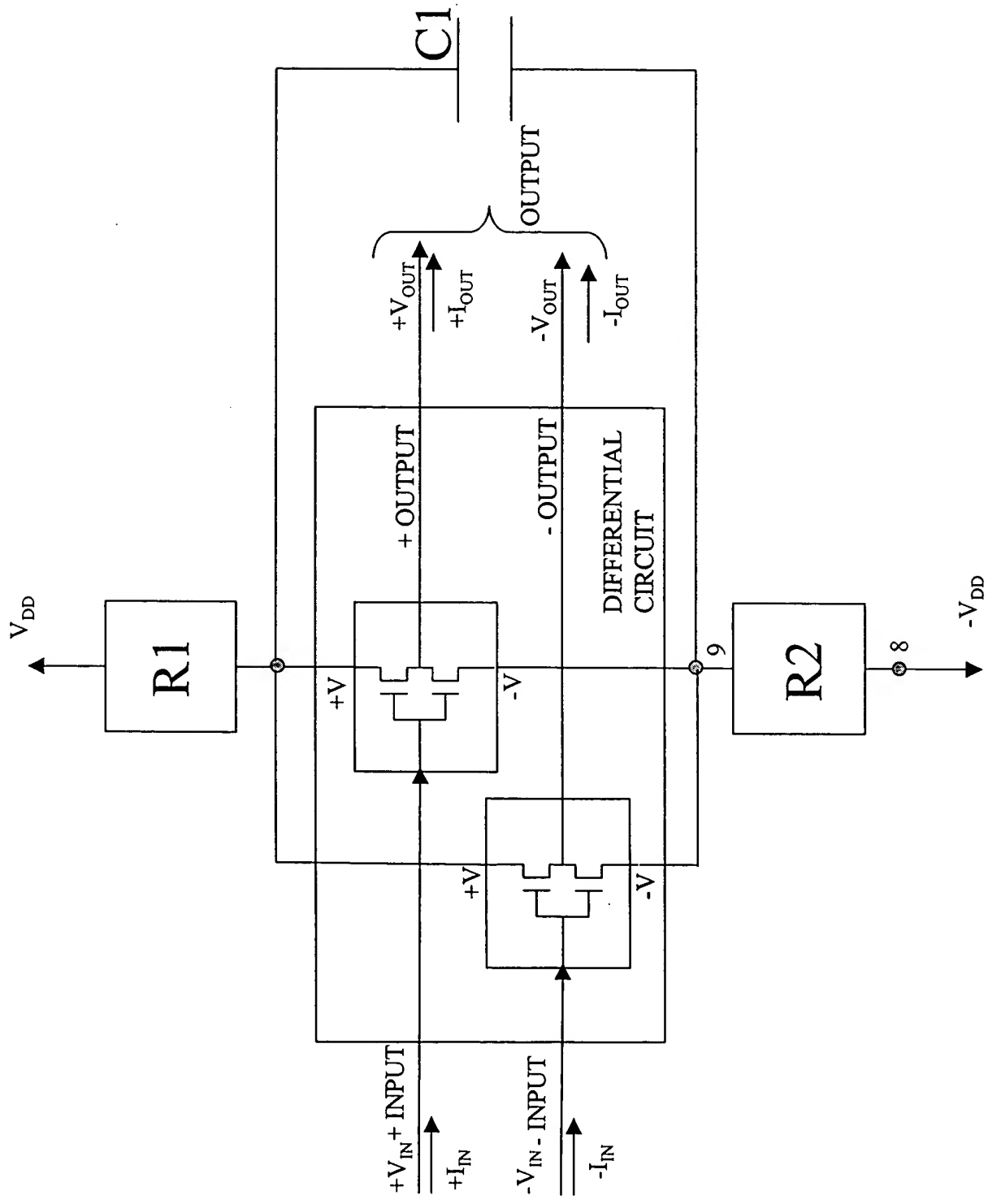


FIG. 48f